

กิตติกรรมประกาศ

ผู้วิจัยขอขอบคุณ มหาวิทยาลัยเทคโนโลยีสุรนารี และสถาบัน Alexander von Humboldt ประเทศเยอรมนี สำหรับการสนับสนุนในด้านทุนวิจัยในหัวข้อนี้ นอกจากนี้ผู้วิจัยขอขอบคุณความร่วมมือในด้านการอำนวยความสะดวกและการให้คำแนะนำในการใช้เครื่องมือวิเคราะห์ต่างๆ ที่มีความจำเป็นสำหรับงานวิจัย โดยเฉพาะอย่างยิ่ง Mr. Uwe Lorenz สำหรับเทคนิค SEM-EDS-mapping

บทคัดย่อภาษาไทย

วัสดุคอมโพสิต $2\text{LiBH}_4\text{-MgH}_2$ ถูกเตรียมให้มีขนาดอนุภาคระดับนาโนเมตร โดยวิธีการหลอมเหลวของผสม $2\text{LiBH}_4\text{-MgH}_2$ ที่บดละเอียดเข้าไปในวัสดุรูปrun การ์บอนชนิด เรซอร์ชินอล-ฟอร์มอลดีไฮด์ แอโรเจลสคาฟโพล์ด เพื่อใช้เป็นแหล่งเก็บไฮโดรเจน เทคนิค scanning electron microscopy (SEM) และ energy dispersive X-ray spectroscopy (EDX) ใช้พิสูจน์ทราบการกระจายตัวอย่างทั่วถึงของ Mg (จาก MgH_2) และ B (จาก LiBH_4) ภายในรูปrun ของวัสดุรูปrun การ์บอน สำหรับしながらศึกษาผลของการปลดปล่อยก๊าซไฮโดรเจน ของสารประกอบคอมโพสิต $2\text{LiBH}_4\text{-MgH}_2$ ที่บรรจุในวัสดุรูปrun การ์บอนระดับนาโนเมตรให้ผลลัพธ์ขึ้นอย่างมีนัยสำคัญเมื่อเปรียบเทียบกับสารประกอบคอมโพสิต $2\text{LiBH}_4\text{-MgH}_2$ ที่ไม่ได้บรรจุอยู่ในวัสดุรูปrun การ์บอนระดับนาโนเมตร เช่น สารประกอบคอมโพสิต $2\text{LiBH}_4\text{-MgH}_2$ ที่บรรจุในวัสดุรูปrun การ์บอนปล่อยก๊าซไฮโดรเจนออกมา 90% ของความจุไฮโดรเจนทึ้งหมดภายใน 90 นาที (ที่อุณหภูมิ = 425°C และ ความดันไฮโดรเจน = 3.4 บาร์) ขณะที่สารประกอบคอมโพสิต $2\text{LiBH}_4\text{-MgH}_2$ ที่ไม่ได้บรรจุอยู่ในวัสดุรูปrun การ์บอนปล่อยก๊าซไฮโดรเจนออกมากเพียง 34% ในช่วงเวลาเดียวกัน โดยสารประกอบคอมโพสิต $2\text{LiBH}_4\text{-MgH}_2$ ที่บรรจุในวัสดุรูปrun การ์บอนสามารถเกิดปฏิกิริยาการปลดปล่อยและเก็บกักไฮโดรเจนแบบผันกลับได้ (อย่างน้อยสี่รอบ) และมีค่าความจุไฮโดรเจนเป็น 10.8 wt. % (คำนวณเปรียบเทียบจากค่าความจุไฮโดรเจนของสารประกอบคอมโพสิต $2\text{LiBH}_4\text{-MgH}_2$)

បញ្ជីគម្រោងកម្ម

Nanoconfined $2\text{LiBH}_4\text{-MgH}_2$ is prepared by direct melt infiltration of bulk $2\text{LiBH}_4\text{-MgH}_2$ into an inert nanoporous resorcinol-formaldehyde carbon aerogel scaffold material. Scanning electron microscopy (SEM) micrographs and energy dispersive X-ray spectroscopy (EDS) mapping reveal homogeneous dispersion of Mg (from MgH_2) and B (from LiBH_4) inside the carbon aerogel scaffold. Moreover, nanoconfinement of LiBH_4 in the carbon aerogel scaffold is confirmed by differential scanning calorimetry (DSC). The hydrogen desorption kinetics of the nanoconfined $2\text{LiBH}_4\text{-MgH}_2$ is significantly improved as compared to bulk $2\text{LiBH}_4\text{-MgH}_2$. For instance, the nanoconfined $2\text{LiBH}_4\text{-MgH}_2$ releases 90% of the total hydrogen storage capacity within 90 min, whereas the bulk material releases only 34% (at $T = 425^\circ\text{C}$ and $p(\text{H}_2) = 3.4$ bar). A reversible gravimetric hydrogen storage capacity of 10.8 wt % H_2 , calculated with respect to the metal hydride content, is preserved over four hydrogen release and uptake cycles.

สารบัญ

	หน้า
กิตติกรรมประกาศ	ก
บทคัดย่อภาษาไทย	ข
บทคัดย่อภาษาอังกฤษ	ค
สารบัญ	ง
สารบัญตาราง	น
สารบัญภาพ	น
คำอธิบายสัญลักษณ์และคำย่อ	ฉ
บทที่ 1 บทนำ	
ความสำคัญและที่มาของปัญหาการวิจัย	1
วัตถุประสงค์ของการวิจัย	3
ขอบเขตของการวิจัย	3
ประโยชน์ที่ได้รับจากการวิจัย	4
บทที่ 2 วิธีดำเนินงานวิจัย	
วัสดุ/ สารเคมี	5
วิธีการดำเนินงาน	5
1. การเตรียมตัวอย่าง	5
1.1. การสังเคราะห์วัสดุพื้นฐานของระดับนาโนเมตรจากวัสดุโพลิเมอร์	
และโรเจลชนิด resorcinol – formaldehyde (RF – CAS)	5
1.2. การเตรียมวัสดุคอมโพสิต 2LiBH₄-MgH₂	6
1.3. การบรรจุวัสดุคอมโพสิต 2LiBH₄ – MgH₂เข้าไปในวัสดุการบอนที่มีรูพรุน	
ระดับนาโนเมตร โดยการหลอมเหลวโดยตรง	6
2. การวิเคราะห์คุณสมบัติ	6

สารบัญ (ต่อ)

	หน้า
บทที่ ๓ ผลการทดลองและอภิปรายผลการทดลอง	
3.1. กลไกการเกิดปฏิกิริยาระหว่างการลดومเหลว การปลดปล่อยไฮโดรเจน และการเก็บกักไฮโดรเจน	8
3.2. ปฏิกิริยาการปลดปล่อยและการเก็บกักไฮโดรเจนของสารประกอบคอมโพลิท $2\text{LiBH}_4\text{-MgH}_2$ ที่ถูกบรรจุเข้าไปในรูพรุนของวัสดุคาร์บอน RF-CAS	14
3.3. สมบัติทาง化學 ศาสตร์และการผันกลับได้	16
บทที่ ๔ บทสรุป	
สรุปผลการทดลอง	20
บรรณานุกรม	21
ประวัติผู้จัด	23

สารบัญตาราง

ตารางที่	หน้า
1. พารามิเตอร์พื้นผิวของวัสดุที่มีรูพรุนคาร์บอน RF-CAS ที่เตรียมได้	8

สารบัญภาพ

รูปที่	หน้า
1. In situ SR-PXD สเปกตระห่วงการหลอมเหลวที่ความดัน 60 bar H ₂ และที่อุณหภูมิ (i) อุณหภูมิห้องถึง 350 °C (10 °C/นาที), (ii) คงที่ที่ 350 °C นาน 30 นาที และ (iii) ลดอุณหภูมิลงจนถึงอุณหภูมิห้อง ของของผสมระหว่างวัสดุที่มีรูพรุนคาร์บอน RF-CAS และสารประกอบคอมโพสิต 2LiBH ₄ -MgH ₂	9
2. รูป SEM ของสารประกอบคอมโพสิต 2LiBH ₄ -MgH ₂ ที่บรรจุในวัสดุที่มีรูพรุนคาร์บอน RF-CAS ซึ่งตัวอย่างถูกยิงด้วย gallium ion beam (a), ภาพข้างในของตัวอย่างที่ถูกตัดผิวหน้าออก (ในพื้นที่สีเหลืองสีแดง) (b), Mg mapping (c), B mapping (d), และการวิเคราะห์หาปริมาณของธาตุของสารตัวอย่าง (e)	10
3. In situ SR-PXD สเปกตระห่วงการเกิดปฏิกิริยาปลดปล่อยไฮโดรเจนที่ความดัน 3-4 bar H ₂ และที่อุณหภูมิ (i) อุณหภูมิห้องถึง 450 °C (10 °C/นาที) และ (ii) คงที่ที่ 450 °C เป็นเวลา 1 ชั่วโมง ของตัวอย่างที่ได้จากการหลอมเหลวสารประกอบคอมโพสิต 2LiBH ₄ -MgH ₂ เข้าไปในรูพรุนของวัสดุคาร์บอน RF-CAS (จากรูปที่ 1)	12
4. In situ SR-PXD สเปกตระห่วงการเกิดปฏิกิริยาเก็บกักไฮโดรเจนที่ความดัน 130 bar H ₂ และที่อุณหภูมิ (i) อุณหภูมิห้องถึง 450 °C (10 °C/นาที), (ii) คงที่ที่ 450 °C นาน 1 ชั่วโมง และ (iii) ลดอุณหภูมิมาที่อุณหภูมิห้อง ของตัวอย่างหลังเกิดปฏิกิริยาปลดปล่อยไฮโดรเจน (รูปที่ 3)	13

สารบัญภาพ (ต่อ)

รูปที่	หน้า
5. ปฏิกิริยาการปลดปล่อยไฮโดรเจนที่ศึกษาด้วยเทคนิค simultaneous DSC-TG-MS ของสารประกอบคอมโพสิต $2\text{LiBH}_4\text{-MgH}_2$ ที่บดละเอียด (a) และที่ถูกบรรจุเข้าไปในรูพรุนของวัสดุคาร์บอน RF-CAS (b)	14
6. การปลดปล่อยและเก็บกักไฮโดรเจนเป็นวัฏจักรของสารประกอบคอมโพสิต $2\text{LiBH}_4\text{-MgH}_2$ ที่ถูกบรรจุเข้าไปในรูพรุนของวัสดุคาร์บอน RF-CAS (a) และ ที่บดละเอียด (b) ที่ 425°C ภายใต้ความดัน 3.4 bar H_2	16
7. Normalized hydrogen desorption profile (จากข้อมูลรูปที่ 6a และ 6b)	19

ការអនិបាយសម្បត្តិកម្មណ៍នៃការរំលែក

SEM	scanning electron microscopy
EDS	energy dispersive X-ray spectroscopy
DSC	differential scanning calorimetry
TG	thermogravimetric analysis
MS	mass spectroscopy
In situ SR-XRD	in situ synchrotron radiation powder X-ray diffraction
RF-CAS	resorcinol – formaldehyde carbon aerogel scaffold
RHCs	reactive hydride composites
°C	degree Celsius
Å	angstrom
T	temperature
min	minute
mL	milliliter
g	gram
mg	milligram

บทที่ 1

บทนำ

ความสำคัญและที่มาของปัญหาการวิจัย

ไฮโดรเจน เป็นหนึ่งใน พลังงานทางเลือกที่เหมาะสมที่สุดสำหรับการใช้เป็นเชื้อเพลิง ความท้าทาย สำหรับการใช้พลังงานไฮโดรเจนอย่างมีประสิทธิภาพ คือใช้เนื้อที่น้อย ปลอดภัย มีความหนาแน่นในการเก็บกักสูง และเกิดปฏิกิริยาแบบผันกลับได้ โลหะไฮไดรด์ที่ถูกนำมาศึกษา ได้แก่ สารประกอบคอมโพสิต ระหว่างโลหะอัลคาไลน์หรือโลหะอัลคาไลน์อิริทที่มีน้ำหนักอะตอมต่ำ และ ไออกอนลอนของอะลูมิเนียมไฮไดรด์ (AlH_4^-) เอไนด์ (NH_2^-) หรือ โนโวไฮไดรด์ (BH_4^-) เนื่องจากสารเหล่านี้มีค่าความจุไฮโดรเจนสูงและมีน้ำหนักที่เบา โดยเฉพาะอย่างยิ่ง ลิเทียมโนโวไฮไดรด์ (LiBH_4) ซึ่งได้รับความสนใจเป็นอย่างมากเนื่องจากมีค่าความจุไฮโดรเจนที่สูงถึง 18.5 wt. % แต่อย่างไรก็ตามการที่ลิเทียมโนโวไฮไดรด์มีความเสถียรทางความร้อนสูง ซึ่งส่งผลให้อุณหภูมิที่ใช้สำหรับการปลดปล่อยไฮโดรเจนสูงมาก (ปลดปล่อยไฮโดรเจนได้เพียงครึ่งหนึ่งของความจุไฮโดรเจนทั้งหมดที่อุณหภูมิต่ำกว่า 600 °C) นอกจากนี้การปฏิกิริยาการปลดปล่อยไฮโดรเจนยังเกิดได้ช้าและการเก็บกักไฮโดรเจนเกิดได้เฉพาะที่อุณหภูมิและความดันที่สูงมาก เท่านั้น (อุณหภูมิ 600 °C และความดัน 150 บาร์ของก๊าซไฮโดรเจน)

นักวิทยาศาสตร์จำนวนมากได้พยายามพัฒนาเพื่อเพิ่มอัตราการการปลดปล่อยและการเก็บกักก๊าซไฮโดรเจนของ LiBH_4 วิธีแรกที่ถูกนำมาใช้ในการแก้ปัญหาดังกล่าวคือ การเติมตัวเร่งปฏิกิริยา เพื่อลดค่าความเสถียรของพันธะเคมีในการเกิดปฏิกิริยาปลดปล่อยก๊าซไฮโดรเจน Au et al. ได้ทำการศึกษาผลของการเติม โลหะไฮไดรด์ และ โลหะออกไซด์ (TiCl_3 , MgCl_2 , TiO_2 , และ V_2O_5) ลงในลิเทียมโนโวไฮไดรด์เพื่อเพิ่มอัตราการปลดปล่อยและการเก็บกักไฮโดรเจน ต่อมาก็ Züttler et al. ได้ศึกษาผลของการเติมตัวเร่งปฏิกิริยาลงใน LiBH_4 เช่นกันแต่เปลี่ยนตัวเร่งปฏิกิริยาเป็น SiO_2 ผลปรากฏว่าปริมาณไฮโดรเจนที่ถูกปลดปล่อยออกมากจากลิเทียมโนโวไฮไดรด์มีค่าเพิ่มขึ้นเป็น 9 wt % H_2 ที่อุณหภูมิต่ำกว่า 400 °C แต่หากพบร่วงขณะที่ ลิเทียมโนโวไฮไดรด์หลอมเหลวได้เกิดอันตรายระหว่าง ลิเทียมโนโวไฮไดรด์และตัวเร่งปฏิกิริยา (SiO_2) ทำให้ได้สารประกอบ Li_2SiO_3 และ Li_4SiO_4 วิธีที่สองคือการเติมโลหะไฮไดรด์ตัวอื่นผสมเข้าไปกับ LiBH_4 เพื่อเกิดเป็นวัสดุคอมโพสิตหรือสารอัลลอยระหว่างการปลดปล่อยไฮโดรเจน แนวคิดนี้ถูกเรียกว่า reactive hydride composites (RHCs) โดย Vajo et al. และ Barkhordarian et al. ได้ศึกษาผลของการผสม MgH_2 กับ LiBH_4 พอกเทาพบว่าในระหว่างปฏิกิริยาการปลดปล่อยไฮโดรเจน LiBH_4 เกิดปฏิกิริยากับ MgH_2 จนได้ MgB_2 เป็น

ผลิตภัณฑ์ ส่งผลให้ค่าพลังงาน enthalpy ในการปลดปล่อยไฮโดรเจนของ LiBH_4 ลดลง 25 kJ/mol H_2 (กลไกการเกิดปฏิกิริยาเป็นตามสมการที่ 1) นอกจากนี้ปฏิกิริยาการเก็บกักไฮโดรเจนของ LiBH_4 สามารถเกิดได้ที่อุณหภูมิและความดันที่ต่ำลงเมื่อเปรียบเทียบกับ LiBH_4 เพียงตัวเดียว



อย่างไรก็ตามวิธีการเพิ่มประสิทธิภาพของ LiBH_4 โดยการเตรียม RHCs กับโลหะไฮไดร์ชนิดอื่นยังมีข้อจำกัดจากการรวมตัวเป็นก้อนของสารขนาดใหญ่ (particle agglomeration) เมื่อเกิดการปลดปล่อยและการเก็บกักหลายรอบ เมื่อเร็วๆ นี้ ได้มีรายงานวิจัยเกี่ยวกับข้อดีของการบรรจุสารประกอบไฮไดรด์ (complex hydride) ในวัสดุที่มีส่วนผสมของโพลิเมต์ เช่น Grosset et al. ได้รายงานผลการเพิ่มประสิทธิภาพทางชลนศาสตร์ประมาณ 50 เท่า หลังจาก LiBH_4 ถูกบรรจุเข้าไปในวัสดุรูปrunкар์บอนระดับนาโนเมตรต่อมากับ Nielsen et al. ได้พยากรณ์ที่จะบรรจุวัสดุคอมโพลิเมต์ resorcinol-formaldehyde โดยการติดโมเลกุล MgBu_2 เข้าไปในวัสดุรูปrunкар์บอนระดับนาโนเมตรที่เตรียมจากโพลิเมอร์และรูเจล resorcinol-formaldehyde โดยการทำปฏิกิริยาที่อุณหภูมิและความดันของไฮโดรเจน หลังจากนั้นจึงหลอมเหลว LiBH_4 เข้าไปในวัสดุรูปrunкар์บอนระดับนาโนเมตร จากการทดสอบประสิทธิภาพ พบร่วงการเก็บกักและการปลดปล่อยไฮโดรเจนของระบบ รวมถึงการผันกลับของปฏิกิริยา ได้ผลดีมากเมื่อเทียบกับวัสดุคอมโพลิเมต์ 2 LiBH_4 - MgH_2 ที่ไม่ได้บรรจุในวัสดุรูปrunкар์บอนระดับนาโนเมตร

ในการศึกษานี้นักวิจัยได้เสนอวิธีการเตรียมการบรรจุระดับนาโนเมตรของวัสดุคอมโพลิเมต์ไฮไดรด์ 2 LiBH_4 - MgH_2 อิกวิชีหนึ่งซึ่งง่ายกว่าวิธีการของ Nielsen et al. โดยการหลอมเหลวโดยตรงของ 2 LiBH_4 - MgH_2 ที่บดละเอียดเข้าไปในวัสดุรูปrunкар์บอนและรูเจลสภาพไฟล์ด ทำให้สามารถลดขั้นตอนที่เกี่ยวข้องกับ MgBu_2

วัตถุประสงค์ของการวิจัย

- สังเคราะห์วัสดุรูพรุนคาร์บอนระดับนาโนเมตรจากวัสดุโพลิเมอร์เจลชนิด resorcinol-formaldehyde
- เตรียมสารประกอบคอมโพสิต $2\text{LiBH}_4\text{-MgH}_2$ บดละเอียดโดยเทคนิค ball milling
- บรรจุสารประกอบคอมโพสิต $2\text{LiBH}_4\text{-MgH}_2$ บดละเอียดเข้าไปในวัสดุรูพรุนคาร์บอนระดับนาโนเมตร ด้วยวิธีการหลอมเหลวภายใต้บรรยากาศไฮโดรเจน เพื่อป้องกันการปลดปล่อยไฮโดรเจนของระบบ
- ศึกษาการกระจายตัวของสารประกอบคอมโพสิต $2\text{LiBH}_4\text{-MgH}_2$ ในวัสดุรูพรุนระดับนาโนเมตร
- ศึกษาอุณหภูมิและความดัน ที่ใช้ในการปลดปล่อยและเก็บกักไฮโดรเจน (de/rehydrogenation) และเปรียบเทียบกับสารประกอบคอมโพสิต $2\text{LiBH}_4\text{-MgH}_2$ ที่ไม่ได้บรรจุในวัสดุคาร์บอนรูพรุนระดับนาโนเมตร
- ศึกษาประสิทธิภาพการเก็บกักและการปลดปล่อยไฮโดรเจนเป็นวัฏจักร และคุณสมบัติทางจลนศาสตร์ของระบบ (cycling efficiency and kinetic properties) และเปรียบเทียบกับสารประกอบคอมโพสิต $2\text{LiBH}_4\text{-MgH}_2$ ที่ไม่ได้บรรจุในวัสดุคาร์บอนรูพรุนระดับนาโนเมตร
- ศึกษากลไกของปฏิกิริยาที่เกิดขึ้นในระหว่างการปลดปล่อยและการเก็บกักไฮโดรเจน

ขอบเขตของการวิจัย

- การเตรียมสารประกอบคอมโพสิต $2\text{LiBH}_4\text{-MgH}_2$ ในระดับนาโนเมตร โดยการบรรจุในวัสดุรูพรุนสามารถทำได้ที่ glove box ในสำนักวิทยาศาสตร์ มหาวิทยาลัยเทคโนโลยีสุรนารี
- การวิเคราะห์และการศึกษาสมบัติทางประเภท เช่น การศึกษาการกระจายตัวของสารประกอบคอมโพสิต $2\text{LiBH}_4\text{-MgH}_2$ ในวัสดุรูพรุนระดับนาโนเมตร โดยใช้ scanning electron microscope-energy dispersive x-ray spectroscopy (SEM-EDX) และ การวัดอุณหภูมิที่ปลดปล่อยไฮโดรเจนโดยใช้ differential scanning calorimetry (DSC) และ thermogravimetric analysis (TGA) สามารถทำได้ที่ศูนย์เครื่องมือวิทยาศาสตร์และเทคโนโลยี มหาวิทยาลัยเทคโนโลยีสุรนารี
- การศึกษากลไกของปฏิกิริยาที่เกิดขึ้นในระหว่างการเก็บกัก และปลดปล่อยไฮโดรเจน สามารถวิเคราะห์ได้ด้วยเทคนิค *in situ* synchrotron radiation powder X-ray diffraction (SR-PXD) ซึ่งทำได้

ที่ศูนย์ซิงโครตรอน มหาวิทยาลัยเทคโนโลยีสุรนารี หรือที่ Beamline I711, MaxLab, Lund ประเทศสวีเดน

- การศึกษาประสิทธิภาพการเก็บกักและการปล่อยก๊าซไฮโดรเจนเป็นวัฏจักร จำเป็นที่จะต้องใช้เครื่องมือที่สามารถควบคุมอุณหภูมิ ความดัน และในขณะเดียวกันก็สามารถวัดปริมาณก๊าซไฮโดรเจนที่เก็บกัก และปล่อยออกมากได้ เครื่องมือดังกล่าวคือ carefully calibrated Sievert's-type apparatus ซึ่งมีอยู่ที่ Material Research Institute, สถาบันวิจัย GKSS, ประเทศเยอรมนี และ Center for Energy Materials (iNANO) ภาควิชาเคมี มหาวิทยาลัย Aarhus, ประเทศเดนมาร์ก ในการนี้คณะผู้วิจัยสามารถขอความร่วมมือเพื่อใช้เครื่องมือดังกล่าวได้

ประโยชน์ที่ได้รับจากการวิจัย

- องค์ความรู้สำหรับการวิจัยในขั้นต่อไป เช่น ศึกษาและพัฒนาแหล่งเก็บกักไฮโดรเจนที่มีประสิทธิภาพสูง ที่สามารถเกิดปฏิกิริยาการเก็บกักและปลดปล่อยก๊าซไฮโดรเจนได้อย่างรวดเร็ว ที่อุณหภูมิ และความดันที่เหมาะสม
- บทความตีพิมพ์ในวารสารระดับนานาชาติ J. Phys. Chem. C (2011) 115, 10903-10910 (IF = 4.81)

บทที่ 2

วิธีดำเนินงานวิจัย

วัสดุ/ สารเคมี

- เรโซรซินอล (Resorcinol) 99%, Sigma-Aldrich
- 37 wt.% ฟอร์มาลดีไฮด์ (Formaldehyde), Merck
- โซเดียมคาร์บอเนต (Sodium carbonate, Na₂CO₃) 99.999 %, Sigma-Aldrich
- ลิทيوم硼ไฮไดรด์ (Lithium borohydride, LiBH₄) >95.0%, Sigma-Aldrich
- เมกนีเซียมไฮไดรด์ (Magnesium hydride, MgH₂) Alfa Aesar GmbH & Co KG
- อัซ็อกซอน (Acetone)

วิธีดำเนินการ

1. การเตรียมตัวอย่าง

1.1. การสังเคราะห์วัสดุพื้นฐานของระดับนาโนเมตรจากวัสดุพอลิเมอร์เจลชนิด Resorcinol – formaldehyde (RF – CAS)

นำ resorcinol (10.3513 g), formaldehyde (10.20 mL), น้ำปราศจากไออกอน (DI water) (14.20 mL) และ Na₂CO₃ (0.0397 g) ใส่ลงในบีกเกอร์ คนอย่างต่อเนื่องจนสารละลายเป็นเนื้อเดียวกัน จากนั้นถ่ายสารผสมลงในขวดโพลีสไตรีน ขนาด 50 mL ปิดฝาให้แน่น นำไปบ่ม (aging) ที่อุณหภูมิห้องเป็นเวลา 24 ชั่วโมง ตามด้วยที่ 50 °C เป็นเวลา 24 ชั่วโมง และที่ 90 °C เป็นเวลา 72 ชั่วโมง ตามลำดับ แล้วทิ้งให้เย็นที่ อุณหภูมิห้อง จากนั้น นำของแข็งที่ได้ไปแช่ใน Acetone เป็นเวลา 34 ชั่วโมง เมื่อครบตามเวลาที่กำหนดให้ นำออกผึ่งให้แห้งที่อุณหภูมิห้องในตู้ดูดควัน แล้วตัดให้เป็นชิ้นเล็กๆ นำไปเผาภายใต้สภาวะบรรยายกาศก้าช ในโตรเจนที่อุณหภูมิ 800 °C (heating rate 2.6 °C/min) เป็นเวลา 6 ชั่วโมง หลังจากที่ให้เย็นจนถึง อุณหภูมิห้อง นำตัวอย่างไปทำให้แห้งที่อุณหภูมิ 500 °C ภายใต้สภาวะสูญญากาศเป็นเวลา 16 ชั่วโมงเพื่อให้ ได้วัสดุพื้นฐานของระดับนาโนเมตรจากวัสดุพอลิเมอร์เจลชนิด Resorcinol – formaldehyde (RF – CAS)

1.2. การเตรียมวัสดุคอมโพสิต $2\text{LiBH}_4\text{-MgH}_2$ บดละเอียด

วัสดุคอมโพสิต $2\text{LiBH}_4\text{-MgH}_2$ บดละเอียดสามารถเตรียมได้โดยใช้เทคนิค ball milling ด้วยการผสม LiBH_4 และ MgH_2 ในอัตราส่วนโดยไม่ระบุว่า $\text{LiBH}_4\text{:MgH}_2$ เป็น 2:1 และอัตราส่วนโดยมิระบุว่า ball:powder เป็น 10:1 ระยะเวลาในการบดนาน 5 ชั่วโมง โดยใช้ร่องการหมุนของเครื่องบดเป็น 400 รอบต่อนาที ที่อุณหภูมิห้อง ภายใต้บรรยากาศกรองใน glove box

1.3. การบรรจุวัสดุคอมโพสิต $2\text{LiBH}_4\text{-MgH}_2$ เข้าไปในวัสดุкар์บอนที่มีรูพรุนระดับนาโนเมตรโดยการหลอมเหลว

ผสม RF-CAS กับวัสดุคอมโพสิต $2\text{LiBH}_4\text{-MgH}_2$ บดละเอียดเข้าด้วยกัน โดยใช้goring บดสาร โดยให้อัตราส่วนโดยมวลเป็น 2:1 (RF-CAS:วัสดุคอมโพสิต) จากนั้นนำของผสมที่ได้ไปให้ความร้อนที่อุณหภูมิ 310°C (ให้สูงกว่าจุดหลอมเหลวของ LiBH_4) ภายใต้ความดันบรรยากาศไโซโดรเจน 60 bar เป็นเวลา 1 ชั่วโมง 30 นาที

2. การวิเคราะห์คุณสมบัติ

วัสดุкар์บอน RF – CAS ถูกนำไปวิเคราะห์คุณสมบัติการดูดซับและการขยายตัวในไตรเจนเพื่อวิเคราะห์หาพื้นที่ผิวและความพรุนของวัสดุด้วยเครื่อง Nova 2200e surface – area and pore – size analyzer โดยก่อนการวิเคราะห์ วัสดุкар์บอน RF – CAS ถูกทำให้ปราศจากก๊าซต่างๆ และความชื้น ที่อุณหภูมิ 200°C ภายใต้สภาวะสูญญากาศ ไอโซเทอมของการดูดซับและการขยายตัวก็จะวัดในช่วง $0 \text{ ถึง } 1 (\text{p}/\text{p}_0)$ ที่อุณหภูมิของไนโตรเจนเหลว โดยใช้ก๊าซในไตรเจนเป็นตัวถูกดูดซับ หลังจากนั้น ข้อมูลที่ได้จะถูกวิเคราะห์ด้วย t – plot method, Brunner Emmet Teller (BET) method และ Barrett Joyner Halenda (BJH) method และปริมาตรโดยรวมจะถูกคำนวณจากจุดเดียวที่ $\text{p}/\text{p}_0 \sim 1$

การวิเคราะห์โดยเทคนิค *In situ* synchrotron radiation powder X – ray diffraction (SR – PXD) สารตัวอย่างถูกนำไปวิเคราะห์ที่ MAX II Synchrotron, beamline I711 ใน research laboratory of MAX – Lab, Lund ประเทศสวีเดน โดยแต่ละตัวอย่างจะถูกวัดโดยใช้ MAR165 CCD detector และรังสีเอ็กซ์ที่มีความยาวคลื่น 0.94608 และ 1.072 \AA . การเตรียมตัวอย่างจะทำใน glove box โดยสารตัวอย่างจะถูกเติมลงในหลอด sapphire capillary ที่สามารถป้องกันอากาศได้ ในระหว่างการทดลองสารตัวอย่างจะถูกให้ความร้อนโดยขดลวดทั้งสตีเคนที่วางอยู่ด้านล่างของหลอด capillary ซึ่งจะถูกควบคุมอุณหภูมิโดย PID regulator จากด้าน

นอกและ thermocouple ที่ solder ไปยังตัวอย่าง สำหรับวัสดุคอมโพลิท $2\text{LiBH}_4 - \text{MgH}_2$ ที่บรรจุใน RF-CAS การวิเคราะห์ปฏิกิริยาปลดปล่อยไฮโดรเจน ทำโดยการให้ความร้อนแก่สารตัวอย่างไปจนถึง 450°C ($10^\circ\text{C}/\text{min}$) ภายใต้ความดัน $3 - 4$ bar H_2 และให้อุณหภูมิคงที่เป็นเวลา 1 ชั่วโมงจากนั้นจึงปล่อยให้เย็นจนถึง อุณหภูมิห้อง ส่วนในการวิเคราะห์ปฏิกิริยาการเก็บกักไฮโดรเจน ทำโดยการให้ความร้อนแก่สารตัวอย่างไป จนถึง 450°C ($10^\circ\text{C}/\text{min}$) ภายใต้ความดันไฮโดรเจน 130 bar และให้อุณหภูมิคงที่ที่ 450°C เป็นเวลา 1 ชั่วโมงจากนั้นจึงปล่อยให้เย็นจนถึงอุณหภูมิห้อง

การวิเคราะห์โดยเทคนิค Scanning electron microscopy (SEM) ทำโดยใช้เครื่องจาก Auriga, Zeiss ประเทศเยรมนีและการวิเคราะห์โดยเทคนิค Energy dispersive X – ray spectroscopy (EDS) ทำโดยใช้ เครื่องมือจาก EDAX Inc. ประเทศสหราชอาณาจักรอเมริกาโปรแกรมที่ใช้ในการวิเคราะห์พื้นผิวและชาตุที่เป็น องค์ประกอบของตัวอย่าง คือ Smart SEM และ EDS Genesis ตามลำดับ ในการเตรียมตัวอย่าง ทำโดยติด ตัวอย่างลงบน sample holder โดยใช้กาวเงิน (silver glue) และนำไปเคลือบด้วยโลหะแพลลาเดียม–โลหะ ทองคำ ด้วยกระแสไฟฟ้า 30 mA เป็นเวลา 30 วินาที ในสภาวะสูญญากาศ สำหรับการวิเคราะห์พื้นผิวและ ชาตุค้านในของตัวอย่าง ตัวอย่างจะถูกเตรียมโดยใช้ focused ion beam technique (FIB) โดยตัวอย่างจะถูก ตัดด้วยลำแสงไออกอนของชาตุแกลเลียมที่มีพลังงาน 30 kV

การวิเคราะห์ด้วยเทคนิค Differential scanning calorimetry (DSC) และเทคนิค thermogravimetric analysis (TG) ทำโดยใช้เครื่อง Netzsch STA 409 ที่อยู่ในบรรยากาศอาร์กอนใน glove box โดยสารตัวอย่าง จะถูกให้ความร้อนจากอุณหภูมิห้อง ไปจนถึง 550°C ด้วยอัตราการให้ความร้อน $5^\circ\text{C}/\text{min}$ ภายใต้ บรรยากาศของก๊าซอาร์กอน $50\text{ mL}/\text{min}$ และก๊าซไฮโดรเจนที่ถูกปล่อยออกจากตัวอย่างจะถูกวิเคราะห์ โดย เครื่อง Hiden HPR – 20 QIC mass spectrometer (MS)

การวิเคราะห์คุณสมบัติการปลดปล่อยและเก็บกักไฮโดรเจนแบบเป็นวัฏจักร ทำการศึกษาโดยใช้ เครื่อง Sievert – type apparatus (PCTPro – 2000) โดยนำผงตัวอย่าง ($\sim 120\text{ mg}$) ใส่ลงในหลอดใส่ตัวอย่าง และต่อเข้ากับเครื่อง Sievert – type apparatus การทดสอบการปลดปล่อยไฮโดรเจนของตัวอย่างแต่ละชนิด ทำโดยให้ความร้อนแก่ตัวอย่างไปที่ อุณหภูมิ 425°C ($5^\circ\text{C}/\text{min}$) ภายใต้ความดันก๊าซไฮโดรเจน 3.4 bar สำหรับการทดสอบการเก็บกักไฮโดรเจน ทำโดยให้ความร้อนแก่ตัวอย่างไปที่อุณหภูมิ 425°C ($5^\circ\text{C}/\text{min}$) ภายใต้ความดันก๊าซไฮโดรเจน~ $130\text{-}145\text{ bar}$ เป็นเวลา 10-12 ชั่วโมง

บทที่ 3

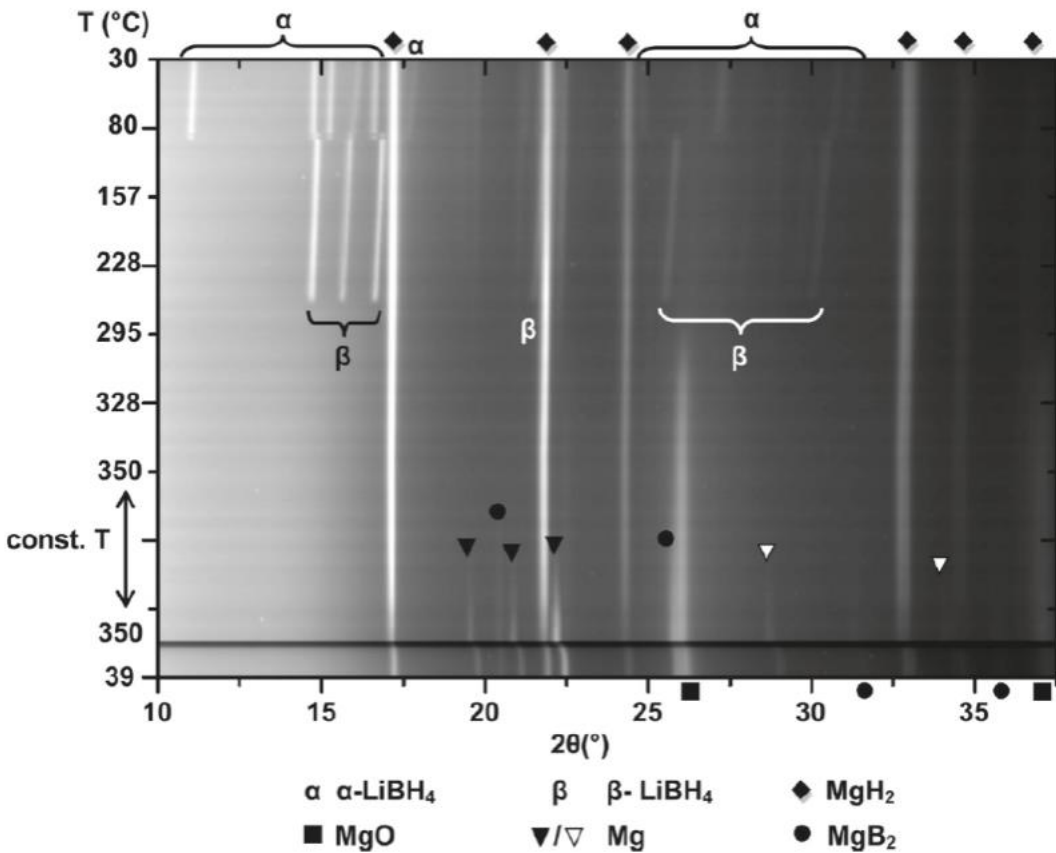
ผลการทดลองและอภิปรายผลการทดลอง

3.1. กลไกการเกิดปฏิกิริยาระหว่างการหลอมเหลว การปลดปล่อยไฮโดรเจน และ การเก็บกักไฮโดรเจน

ตารางที่ 1. พารามิเตอร์พื้นผิวของวัสดุที่มีรูพรุนคาร์บอน RF-CAS ที่เตรียมได้

Sample	S_{BET} (m^2/g)	V_{micro} (cc/g)	V_{meso} (cc/g)	D_{max} (nm)	V_{tot} (cc/g)
RF-CAS	682	0.14	1.18	31.0	1.35

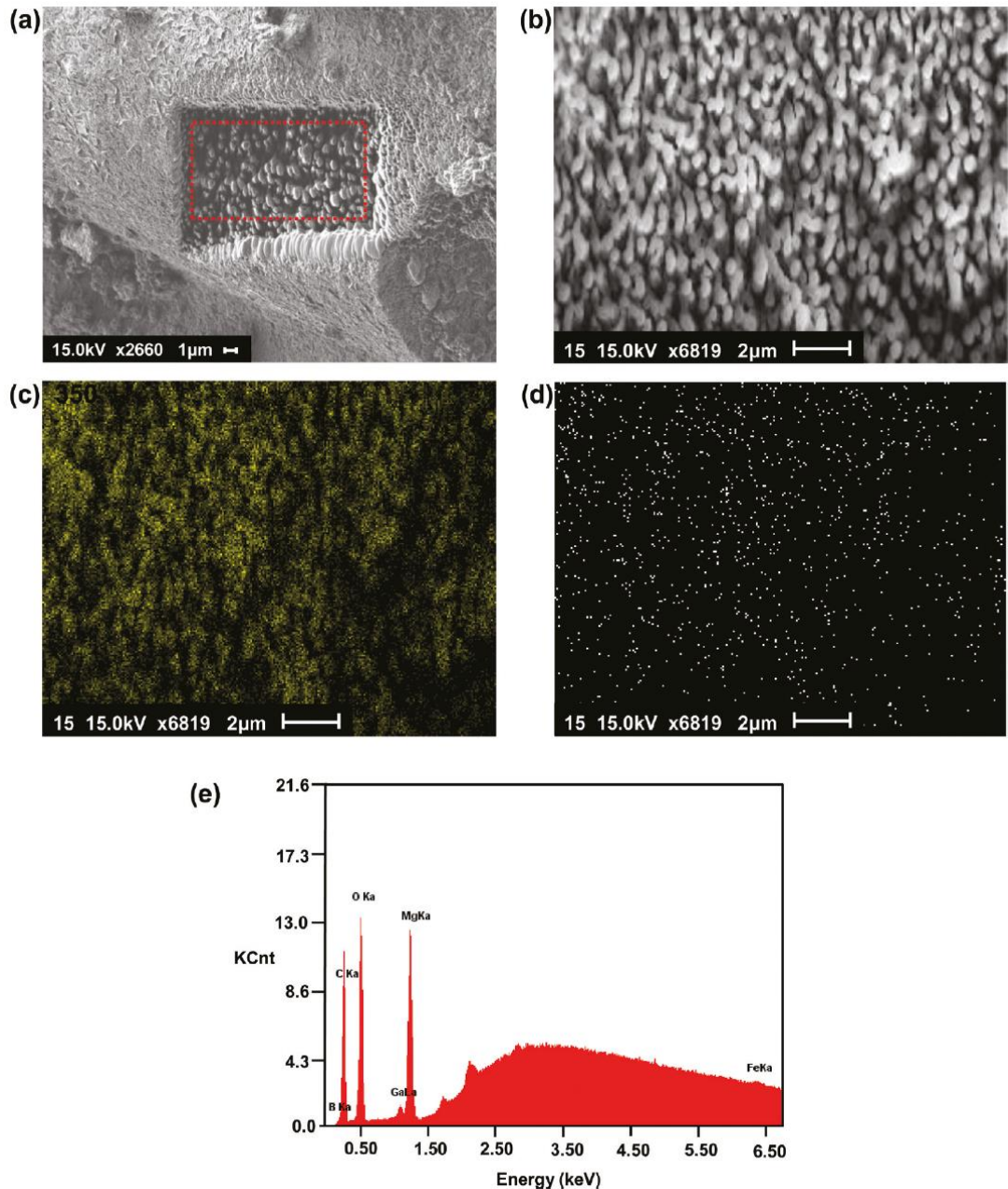
ก่อนที่จะนำวัสดุที่มีรูพรุนคาร์บอน RF-CAS มาใช้บรรจุสารประกอบคอมโพสิต $2\text{LiBH}_4\text{-MgH}_2$ จะต้องทำการวิเคราะห์ขนาดของรูพรุนและปริมาตรพื้นผิวด้วยเทคนิค N_2 adsorption-desorption จากตารางที่ 1 พบว่าวัสดุที่มีรูพรุนคาร์บอน RF-CAS มีพื้นที่ผิวเป็น (S_{BET}) $682 \text{ m}^2/\text{g}$ ขนาดรูพรุน (D_{max}) 31 นาโนเมตร และปริมาตรรูพรุน (V_{micro}) 0.14 cc/g หลังจากนั้นจึงนำวัสดุที่มีรูพรุนคาร์บอน RF-CAS ดังกล่าวไปบรรจุวัสดุคอมโพสิต $2\text{LiBH}_4\text{-MgH}_2$ โดยการหลอมเหลว ซึ่งกลไกการเกิดปฏิกิริยาในระหว่างการหลอมเหลวถูกศึกษาโดยเทคนิค *in situ* SR-PXD รูปที่ 1 แสดงแคนเนลเฟชัน (Bragg reflection) ของ LiBH_4 และ MgH_2 ที่อุณหภูมิห้อง และ Bragg reflection ซึ่งจะเกิดเป็นบริเวณที่กว้าง (แคนแนล) ในช่วง 2θ ระหว่าง $10\text{-}15^\circ$ คือลักษณะเฉพาะของโครงสร้างของแกไฟฟ์ (graphite like structural) ของวัสดุที่มีรูพรุนคาร์บอน RF-CAS จากรูปที่ 1 เมื่อเพิ่มอุณหภูมิถึงประมาณ 115 และ 285°C LiBH_4 แสดงถึงการเปลี่ยนเฟสจาก α ไปเป็น $\beta\text{-LiBH}_4$ และการหลอมเหลวของ $\beta\text{-LiBH}_4$ ตามลำดับ ที่ประมาณ 295°C จะเกิด MgO ขึ้น หลังจากนั้นที่อุณหภูมิคงที่ที่ 350°C จะตรวจพบสัญญาณของ Mg และ MgB_2 ในขณะที่สัญญาณของ MgH_2 ก่อให้ ลดลง แสดงถึงปฏิกิริยาระหว่าง LiBH_4 และ MgH_2 ในระหว่างการหลอมเหลว นอกจากนี้สัญญาณของ LiBH_4 ยังหายไปหลังจากลดอุณหภูมิลง เนื่องจาก LiBH_4 ถูกบรรจุระดับ nano เมตรในวัสดุที่มีรูพรุนคาร์บอน RF-CAS อย่างสมบูรณ์และอยู่ในรูปอสัมัญฐาน (amorphous) นอกจากนี้ยังสรุปได้ว่าไม่มีปฏิกิริยาเคมีเกิดขึ้นระหว่างคาร์บอนแอโรเจลและ LiBH_4 หรือ MgH_2 (รูปที่ 1)



รูปที่ 1. In situ SR-PXD สเปกตราระหว่างการหลอมเหลวที่ความดัน 60 bar H₂ และที่อุณหภูมิ (i) อุณหภูมิห้องถึง 350 °C (10 °C/นาที), (ii) คงที่ที่ 350 °C นาน 30 นาที และ (iii) ลดอุณหภูมิลงจนถึง อุณหภูมิห้อง ของของผสมระหว่างวัสดุที่มีรูพรุนคาร์บอน RF-CAS และสารประกอบคอมโพสิต 2LiBH₄-MgH₂

ต่อมาเพื่อเป็นการยืนยันว่า LiBH₄ และ MgH₂ ได้เข้าไปอยู่ในรูพรุนของวัสดุคาร์บอน RF-CAS แล้ว เราได้นำตัวอย่างหลังการหลอมเหลวไปศึกษาด้วยเทคนิค SEM และ EDS-mapping โดยตัวอย่างจะถูกนำมาตัดผิวน้ำด้วยลำแสงของไอออนของแกลเลียม (gallium (Ga) ion beam) โดยใช้เทคนิค FIB ใน การเตรียม ให้ได้พื้นที่ผิวข้างในของตัวอย่างซึ่งแสดงในรูปที่ 2(a) ส่วนรูปที่ 2(b) แสดงโครงสร้างระดับนาโนเมตร ตลอดจนพื้นที่ว่างภายในวัสดุที่มีรูพรุนคาร์บอน RF-CAS (พื้นที่ในสี่เหลี่ยมสี่แฉกของรูปที่ 2(a)) ในขณะที่

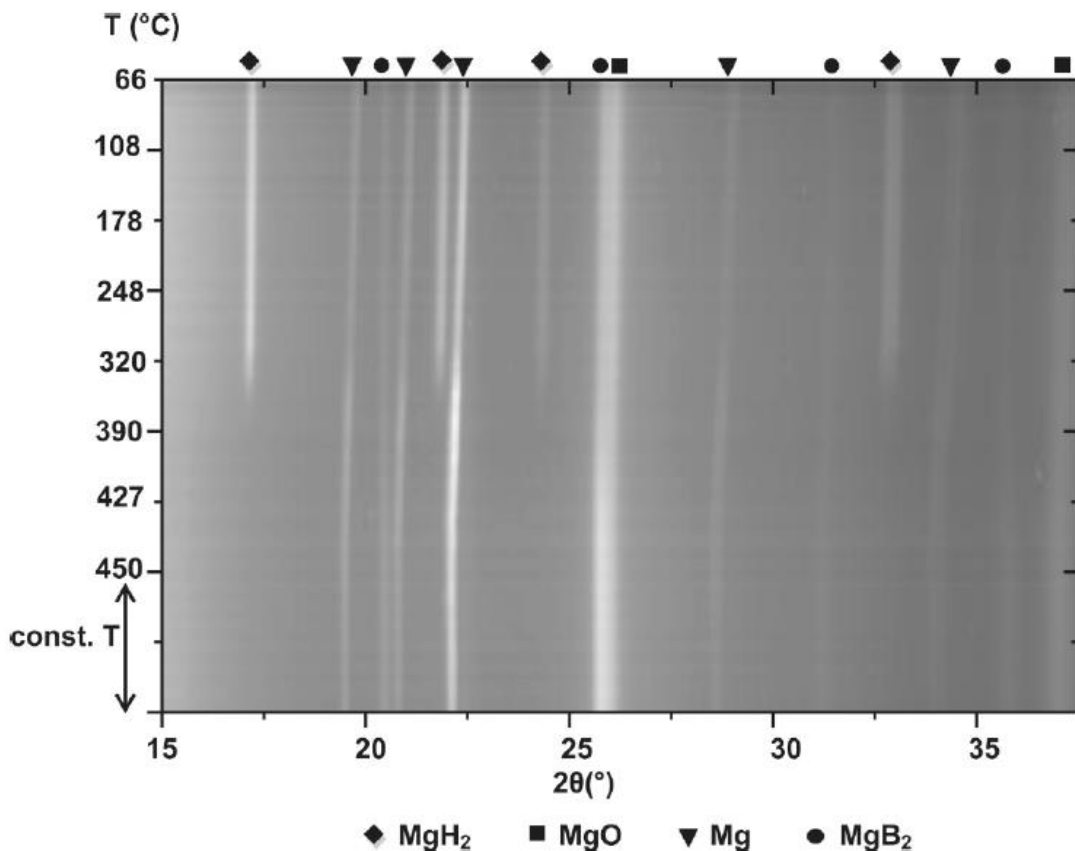
รูปที่ 2(c) และ 2(d) แสดงการกระจายตัวของธาตุที่สนใจในตัวอย่าง ในที่นี้คือ Mg- และ B-mapping ตามลำดับ



รูปที่ 2. รูป SEM ของสารประกอบคอมโพสิต $2\text{LiBH}_4\text{-MgH}_2$ ที่บรรจุในวัสดุที่มีรูพรุนการ์บอน RF-CAS ชั่งตัวอย่างถูกยิงด้วย gallium ion beam (a), ภาพข้างในของตัวอย่างที่ถูกตัดผิวน้ำออก (ในพื้นที่สี่เหลี่ยมสีแดง) (b), Mg mapping (c), B mapping (d), และการวิเคราะห์หาปริมาณของธาตุของสารตัวอย่าง (e)

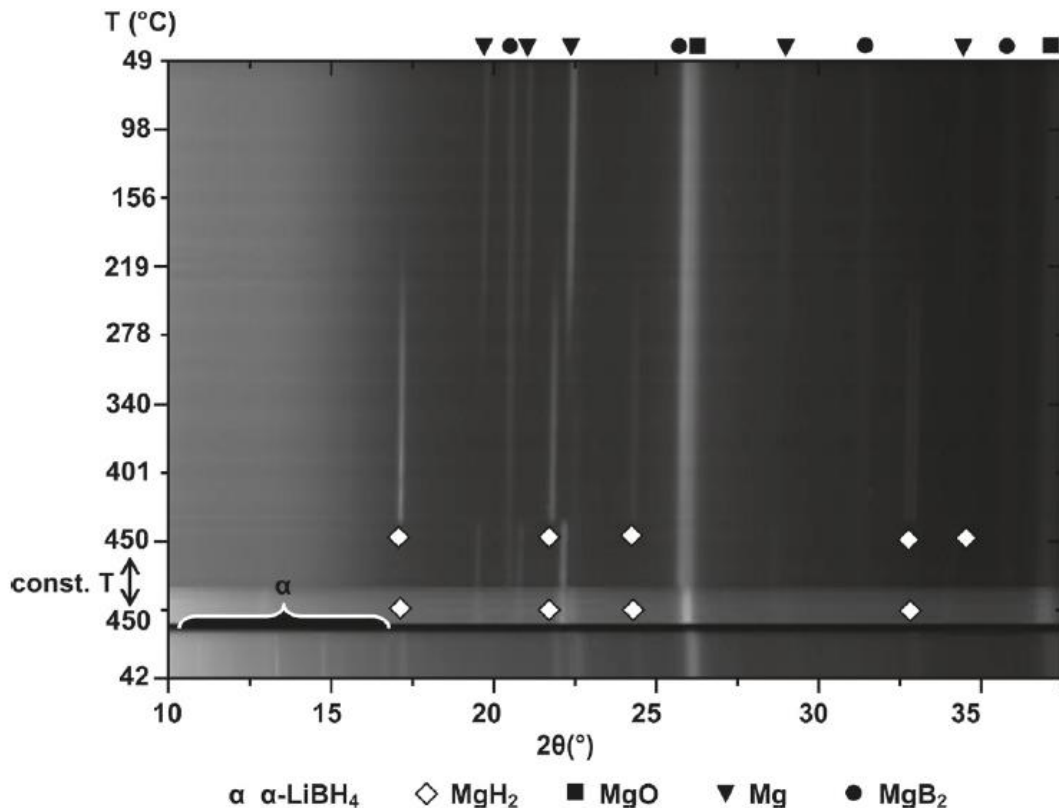
จากรูปที่ 2(c) และ 2(d) พบว่าอะตอมของ Mg และ B กระจายตัวอย่างสม่ำเสมอในวัสดุที่มีรูพรุน คาร์บอน RF-CAS ซึ่งจากการทดลองนี้ก็สามารถยืนยันได้ว่า LiBH_4 และ MgH_2 ได้เข้าไปอยู่ภายในรูพรุน ของวัสดุcarbon RF-CAS แล้ว เนื่องจาก MgH_2 มีจุดหลอมเหลวสูงกว่า 310°C จึงไม่สามารถหลอมเหลว เข้าไปในรูพรุนของวัสดุcarbon RF-CAS ได้ดังนั้นในกรณีนี้ MgH_2 ถูกบรรจุเข้าไปในวัสดุที่มีรูพรุน คาร์บอน RF-CAS โดยอาศัยการหลอมเหลวของ LiBH_4 เป็นตัวพาอนุภาคของ MgH_2 เข้าไปในรูพรุน นอกจากนี้การตรวจพบสัญญาณของ MgH_2 ที่ชัดเจนหลังการหลอมเหลว (รูปที่ 1) แสดงให้เห็นว่า MgH_2 นอกจากจะอยู่ในรูพรุนแล้วยังอยู่เป็นผลึกขนาดพื้นผิวของวัสดุที่มีรูพรุน carbon RF-CAS ด้วย ส่วนรูปที่ 2(e) แสดงปริมาณของ (i) Mg (MgH_2), (ii) C (วัสดุที่มีรูพรุน carbon RF-CAS) และ (iii) B (LiBH_4) เนื่องจาก ข้อจำกัดของเทคนิค EDS ซึ่งไม่สามารถตรวจวัดธาตุที่มีมวลอะตอมต่ำได้อย่างชัดเจน ดังนั้นการหาปริมาณ ของ Li และ B จึงได้ผลที่ไม่ดีนัก (กรณีของ B เห็นสัญญาณเล็กน้อย แต่กรณี Li ไม่สามารถตรวจวัดได้เลย) ในกรณีของธาตุออกซิเจน (O) และแกลลิลี่ม (Ga) เกิดจากปฏิกิริยาออกซิเดชันของสารประกอบไออกไซด์ และเกิดจากการวัดด้วยเทคนิค FIB ตามลำดับ

ในการนี้การเกิดปฏิกิริยาปลดปล่อยไฮโดรเจน ตัวอย่างจากการวิเคราะห์ด้วยเทคนิค *in situ* SR-PXD หลังการหลอมเหลว (รูปที่ 1) ถูกนำมาศึกษาโดยการเกิดปฏิกิริยาปลดปล่อยไฮโดรเจนต่อ จากรูปที่ 3 สัญญาณของ MgH_2 , Mg, MgB_2 , และ MgO ถูกตรวจวัดได้ที่อุณหภูมิห้อง หลังจากให้ความร้อนกับตัวอย่าง จนอุณหภูมิเพิ่มขึ้นถึง 336°C (ความดัน 3-4 bar H_2) พบว่าสัญญาณของ MgH_2 หายไป ในขณะที่สัญญาณ ของ Mg เพิ่มขึ้น ที่อุณหภูมิ 390°C สัญญาณของ MgB_2 เกิดเพิ่มขึ้น ในขณะเดียวกันก็พบว่าสัญญาณของ Mg ลดลง จากผลงานนี้แสดงให้เห็นว่า MgH_2 เกิดปฏิกิริยาปลดปล่อยไฮโดรเจนก่อนเพื่อเกิดเป็น Mg ต่อมา LiBH_4 จะเกิดปฏิกิริยาปลดปล่อยไฮโดรเจนและเกิดปฏิกิริยาต่อกับ Mg แล้วให้ MgB_2 เป็นผลิตภัณฑ์ ในกรณี MgO ที่พบตลอดการวิเคราะห์เกิดจากปฏิกิริยาของ MgH_2 กับ O_2 และ/หรือ ความชื้นในอากาศ



รูปที่ 3. In situ SR-PXD สเปกตราระหว่างการเกิดปฏิกิริยาปลดปล่อยไฮโดรเจนที่ความดัน 3-4 bar H_2 และที่อุณหภูมิ (i) อุณหภูมิห้องถึง 450 $^{\circ}\text{C}$ ($10 ^{\circ}\text{C}/\text{นาที}$) และ (ii) คงที่ที่ 450 $^{\circ}\text{C}$ เป็นเวลา 1 ชั่วโมง ของตัวอย่างที่ได้จากการหลอมเหลวสารประกอบคอมโพสิต $2\text{LiBH}_4\text{-MgH}_2$ เข้าไปในรูพ魯นของวัสดุคาร์บอน RF-CAS (จากรูปที่ 1)

เพื่อยืนยันว่าสารตัวอย่างที่ได้จากการบรรจุสารประกอบคอมโพสิต $2\text{LiBH}_4\text{-MgH}_2$ เข้าไปในรูพ魯นของวัสดุคาร์บอน RF-CAS สามารถเกิดปฏิกิริยาการผันกลับໄได้ กลไกการเกิดปฏิกิริยาเก็บกักไฮโดรเจนจึงถูกศึกษาโดยใช้เทคนิค in situ SR-PXD (ซึ่งทำการทดลองต่อเนื่องจากปฏิกิริยาการปลดปล่อยไฮโดรเจน) ตัวอย่างถูกให้ความร้อนไปที่ 450 $^{\circ}\text{C}$ ($5 ^{\circ}\text{C}/\text{นาที}$) ที่ความดัน 130 bar H_2 ทิ้งไว้ที่อุณหภูมิ 450 $^{\circ}\text{C}$ เป็นเวลา 1 ชั่วโมง หลังจากนั้นก็ลดอุณหภูมิลงจนถึงอุณหภูมิห้อง สเปกตราระหว่างการเกิดปฏิกิริยาเก็บกักไฮโดรเจนแสดงในรูปที่ 4

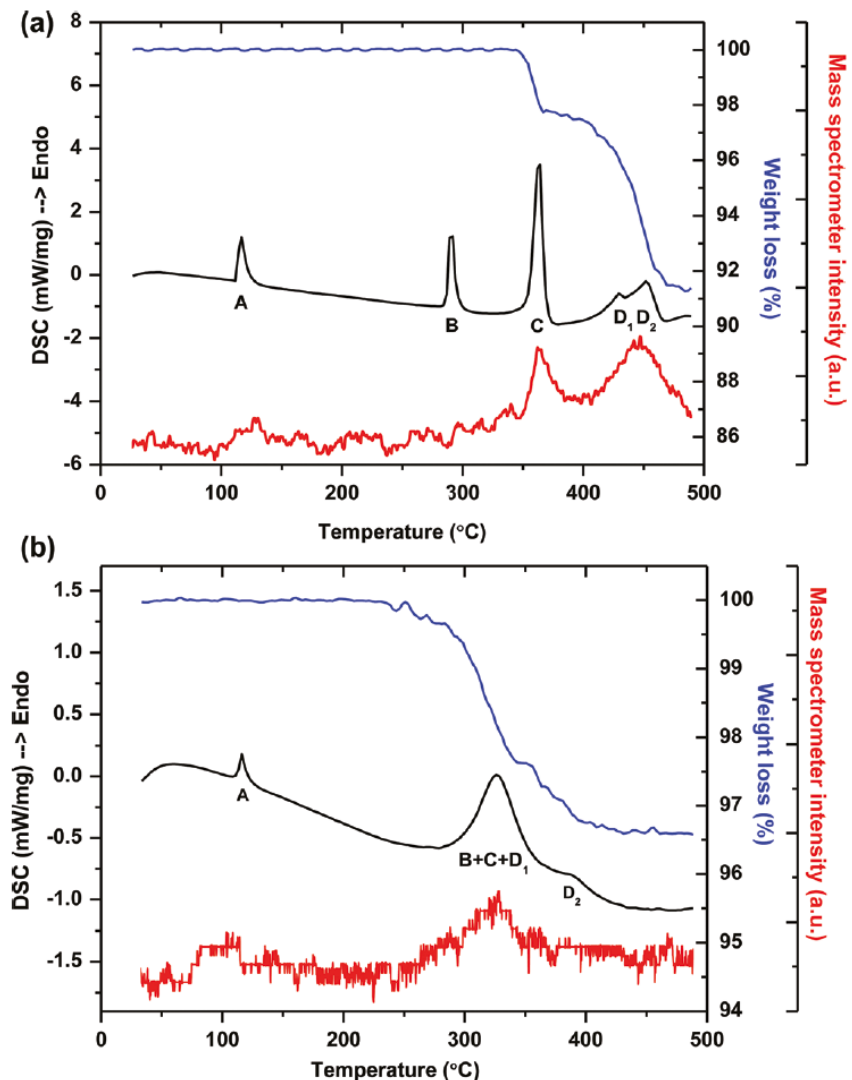


รูปที่ 4. In situ SR-PXD สเปกตราระหว่างการเกิดปฏิกิริยาเก็บกักไฮโดรเจน ที่ความดัน 130 bar H₂ และที่ อุณหภูมิ (i) อุณหภูมิห้องถึง 450 °C (10 °C/นาที), (ii) คงที่ที่ 450 °C นาน 1 ชั่วโมง และ (iii) ลดอุณหภูมินมาที่ อุณหภูมิห้อง ของตัวอย่างหลังเกิดปฏิกิริยาปลดปล่อยไฮโดรเจน (รูปที่ 3)

รูปที่ 4 แสดงสัญญาณของ Mg ที่ค่อยๆ ลดลงที่อุณหภูมิ 219 °C และหายไปที่อุณหภูมิ 300 °C ในขณะเดียวกันก็พบสัญญาณของ MgH₂ เกิดและเพิ่มขึ้นตามลำดับ แสดงว่าที่อุณหภูมนี้ Mg เกิดปฏิกิริยาการเก็บกักไฮโดรเจน เพื่อเกิดเป็น MgH₂ ที่อุณหภูมิ 440 °C พบว่า MgH₂ เกิดปฏิกิริยาปลดปล่อยไฮโดรเจน ซึ่งพิสูจน์ทราบได้จากสัญญาณของ Mg ที่ตรวจพบอีกรัง แต่อย่างไรก็ตามในช่วงที่ลดอุณหภูมิลง พบว่า สัญญาณของ MgH₂ กลับคืนมาและไม่พบสัญญาณของ Mg อีก ดังนั้นสามารถสรุปได้ว่า Mg เกิดปฏิกิริยาการเก็บกักไฮโดรเจนและให้ MgH₂ ในกรณีของ MgB₂ พบว่าสัญญาณลดลงที่อุณหภูมิ 450 °C และเมื่อลดอุณหภูมิลงมาที่อุณหภูมิห้อง พบว่าเกิด α-LiBH₄ ขึ้น ดังนั้นจากผลการทดลองนี้สรุปสารประกอบกอน โพรสิติก 2LiBH₄-MgH₂ ที่ถูกบรรจุเข้าไปในรูพรุนของวัสดุคาร์บอน RF-CAS สามารถเกิดปฏิกิริยาการปลดปล่อยและเก็บกักไฮโดรเจนแบบผันกลับได้

3.2. ปฏิกริยาการปลดปล่อยและเก็บกักไฮโดรเจนของสารประกอบคอมโพสิต $2\text{LiBH}_4\text{-MgH}_2$ ที่ถูกบรรจุเข้าไปในรูปrunของวัสดุคาร์บอน RF-CAS

พฤติกรรมการปลดปล่อยไฮโดรเจนของสารประกอบคอมโพสิต $2\text{LiBH}_4\text{-MgH}_2$ ที่บดละเอียดและที่ถูกบรรจุเข้าไปในรูปrunของวัสดุคาร์บอน RF-CAS ถูกเริ่มศึกษาโดยใช้เทคนิค simultaneously DSC-TGA-MS ซึ่งแสดงผลดังรูปที่ 5(a) และ 5(b)



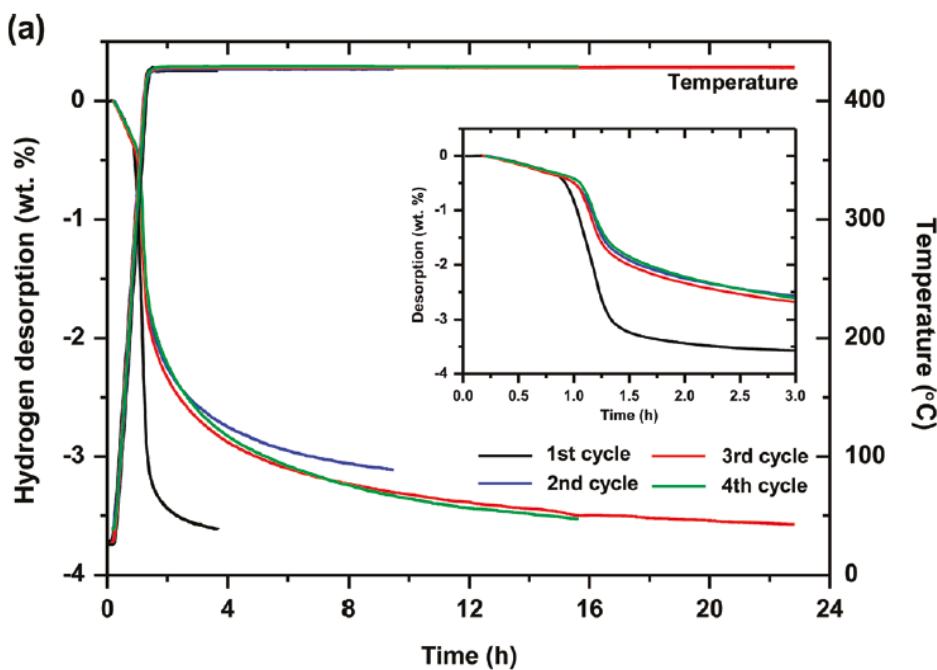
รูปที่ 5. ปฏิกริยาการปลดปล่อยไฮโดรเจนที่ศึกษาด้วยเทคนิค simultaneously DSC-TG-MS ของสารประกอบคอมโพสิต $2\text{LiBH}_4\text{-MgH}_2$ ที่บดละเอียด (a) และที่ถูกบรรจุเข้าไปในรูปrunของวัสดุคาร์บอน RF-CAS (b)

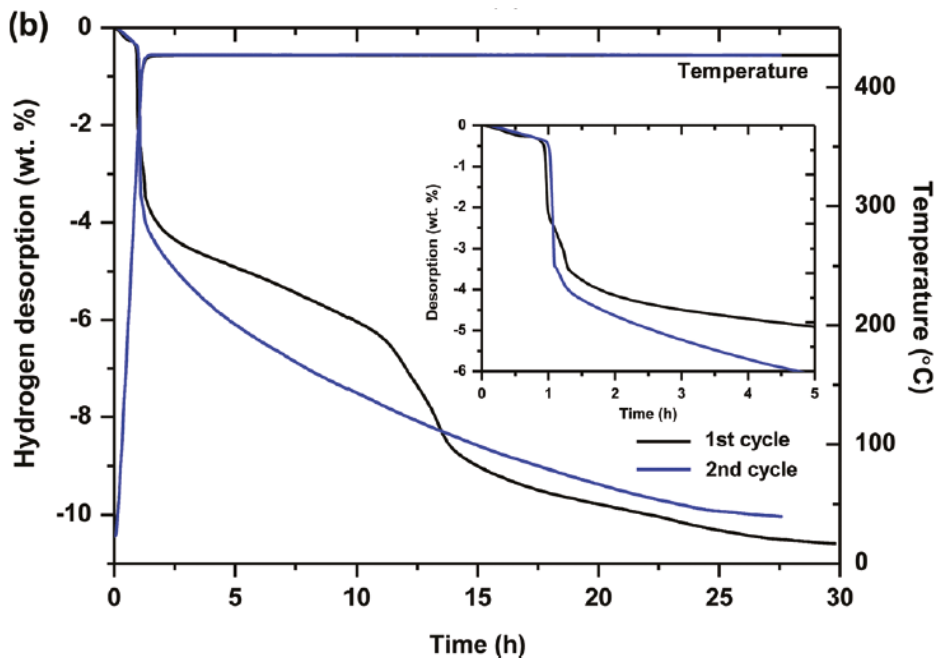
จากรูปที่ 5(a) ผลของ DSC แสดงพีคของการชายพลังงาน (endothermic peak) 5 พีคซึ่งแสดงด้วยสัญญาณกลักษณ์ A, B, C, D₁, และ D₂ พีค A และ B ที่ 117 และ 292 °C แสดงการเปลี่ยนสถานะ (phase transformation) จาก α- เป็น β-LiBH₄ และจุดหลอมเหลวของ β-LiBH₄ ตามลำดับ พีคตำแหน่ง C และ D₂ (D₁+D₂) ที่ 364, 429 และ 452 °C ตามลำดับ แสดงปฏิกิริยาการปลดปล่อยไฮโดรเจนของ MgH₂ และ LiBH₄ ซึ่งยืนยันจากผลของスペกตรัม MS ที่ให้สัญญาณไฮโดรเจนที่ตำแหน่งพีคดังกล่าวด้วย ในขณะเดียวกันกราฟ TG แสดงปริมาณไฮโดรเจนที่ปลดปล่อยออกม 8.7 wt. % (ประมาณ 75% ของค่าทางทฤษฎีตามสมการที่ 1) ในกรณีของการประกอบคอมโพสิต 2LiBH₄-MgH₂ ที่ถูกบรรจุเข้าไปในรูปแบบของวัสดุคาร์บอน RF-CAS พีค A ที่ 116 °C (รูปที่ 5(b)) การเปลี่ยนสถานะ (phase transformation) จาก α- เป็น β-LiBH₄ ซึ่งให้ผลที่ตรงกับ DSC ของสารประกอบคอมโพสิต 2LiBH₄-MgH₂ ที่บดละเอียด (รูปที่ 5(a)) ที่ 326 °C เกิดเป็นพีคฐานกว้าง (broad peak) ซึ่งแสดงถึง (i) การหลอมเหลวของ β-LiBH₄ (B) และ (ii) ปฏิกิริยาการปลดปล่อยไฮโดรเจนของสารประกอบคอมโพสิต 2LiBH₄-MgH₂ (C และ D₁) หลังจากนั้นที่อุณหภูมิ 386 °C พบรีดดูดความร้อนขนาดเล็กซึ่งแสดงถึงปฏิกิริยาการปลดปล่อยไฮโดรเจนของ LiBH₄ ที่เหลืออยู่ (D₂) ซึ่งกราฟ MS และ TG จะสามารถตรวจสอบไฮโดรเจนและน้ำหนักของไฮโดรเจนที่หายไปได้ 3.5 wt. % ซึ่งก็ได้ค่าใกล้เคียงกับค่าที่คำนวณได้ทางทฤษฎีคือ 3.87 wt. % เพื่อพิสูจน์ทราบว่าพีคฐานกว้างที่ 326 °C ประกอบด้วยการหลอมเหลวของ β-LiBH₄ และปฏิกิริยาการปลดปล่อยไฮโดรเจนตามที่กล่าวไว้ข้างต้น เราสามารถพิจารณาจากปริมาณไฮโดรเจนที่ถูกปลดปล่อยออกมาระหว่าง TG จากรูปที่ 5(a) พบว่าการปลดปล่อยไฮโดรเจนจาก MgH₂ (พีค B) ของสารประกอบคอมโพสิต 2LiBH₄-MgH₂ บดละเอียดมีค่าเพียง 28% (2.4 wt % H₂) ของปริมาณไฮโดรเจนทั้งหมด (8.7 wt % H₂) สำหรับสารประกอบคอมโพสิต 2LiBH₄-MgH₂ ที่ถูกบรรจุเข้าไปในรูปแบบของวัสดุคาร์บอน RF-CAS พบว่าปลดปล่อยไฮโดรเจนที่ 326 °C (พีค B, C และ D₁) ออกมากกว่า 70% (2.5 wt % H₂) ของไฮโดรเจนทั้งหมดที่สามารถปลดปล่อยออกมามีอัตราเทียบเทียมกับค่าที่ได้ทางทฤษฎี (3.5 wt % H₂) (รูปที่ 5(b)) ซึ่งแสดงให้เห็นว่าที่จุดนี้ออกจากจะเป็นตำแหน่งการเกิดการหลอมเหลวของ β-LiBH₄ และการปลดปล่อยไฮโดรเจนของ MgH₂ แล้ว ยังเป็นตำแหน่งที่ LiBH₄ ปลดปล่อยไฮโดรเจนออกมาร้อยละ 70% ซึ่งก็ตรงกับผลของ in situ SR-PDX ที่พบว่าเกิดการปลดปล่อยไฮโดรเจนระหว่างการหลอมเหลวจะสังเกตเห็นสัญญาณของ Mg และ MgB₂ เกิดขึ้นพร้อมๆ กัน ซึ่งแสดงให้เห็นว่า MgH₂ และ LiBH₄ ปลดปล่อยไฮโดรเจนออกมาร้อยละ 70% พร้อมๆ กัน (หัวขอที่ 4.1 และรูปที่ 1) จากผลการทดลองข้างต้นสรุปได้ว่าอุณหภูมิของการปลดปล่อยไฮโดรเจนของสารประกอบคอมโพสิต 2LiBH₄-MgH₂ ที่ถูกบรรจุเข้าไปในรูปแบบของวัสดุคาร์บอน RF-CAS มีค่าต่ำกว่าสารประกอบคอมโพสิต 2LiBH₄-MgH₂ ที่บดละเอียด (ความ

แตกต่างกันของอุณหภูมิเป็น 38 และ 66 °C ในกรณีของ MgH₂ (พิค C) และ LiBH₄ (พิค D) ตามลำดับ) ดังนั้นผลที่ได้จากรูป 5(b) แสดงให้เห็นอย่างชัดเจนว่าทั้ง MgH₂ และ LiBH₄ ได้ถูกบรรจุอยู่ในรูปrunของวัสดุการ์บอน RF-CAS และ ซึ่งก็ให้ผลการทดลองสอดคล้องกับผลของ SEM และ EDS-mapping (หัวข้อ 4.1 และรูปที่ 2) นอกจากนี้ยังพบว่าการบรรจุดังกล่าวทำให้ปฏิกิริยาการชาย化ไฮโดรเจนลดลงเหลือเพียงขั้นตอนเดียว เมื่อเปรียบเทียบกับสารประกอบคอมโพลิท 2LiBH₄-MgH₂ ที่เตรียมโดยวิธีการบดละเอียด ดังนั้นการบรรจุในระดับนาโนเมตรของสารประกอบคอมโพลิท 2LiBH₄-MgH₂ ในรูปrunของวัสดุการ์บอน RF-CAS ช่วยเพิ่มประสิทธิภาพจนศาสตร์ของการปลดปล่อยไฮโดรเจน

3.3. สมบัติทางจลนศาสตร์และการผันกลับได้

คุณสมบัติทางจลนศาสตร์และการผันกลับได้ที่เกี่ยวข้องกับอัตราเร็วของการปลดปล่อยและเก็บกักไฮโดรเจนของสารประกอบคอมโพลิท 2LiBH₄-MgH₂ ที่ถูกบรรจุเข้าไปในรูปrunของวัสดุการ์บอน RF-CAS สามารถพิสูจน์ทราบโดยการวัดการปลดปล่อยและเก็บกักไฮโดรเจนเป็นวัฏจักร ซึ่งในงานวิจัยนี้ทำการทดลอง 4 วัฏจักร ด้วยเครื่อง Sievert-type apparatus ซึ่งผลการทดลองแสดงในรูปที่ 6(a)





รูปที่ 6. การปลดปล่อยและเก็บกักไฮโดรเจนเป็นวัสดุจักรของสารประกอบคอมโพลิท $2\text{LiBH}_4\text{-MgH}_2$ ที่ถูกบรรจุเข้าไปในรูพรุนของวัสดุคาร์บอน RF-CAS (a) และ ที่บดละเอียด (b) ที่ $425\text{ }^\circ\text{C}$ ภายใต้ความดัน 3.4 bar H_2

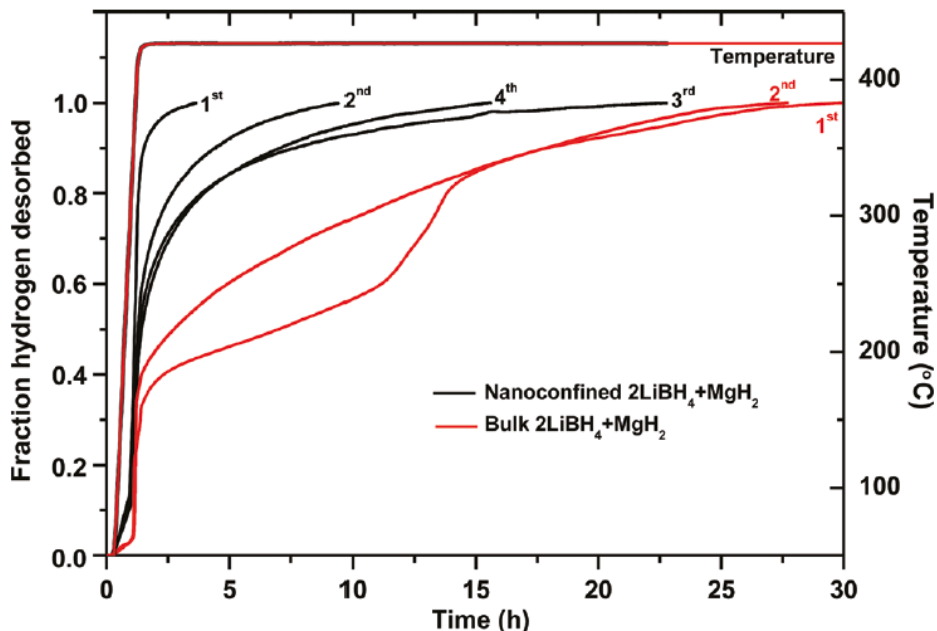
จากการทดลอง (รูปที่ 6(a)) พบว่า รอบแรกสารประกอบคอมโพลิท $2\text{LiBH}_4\text{-MgH}_2$ ที่ถูกบรรจุเข้าไปในรูพรุนของวัสดุคาร์บอน RF-CAS สามารถปลดปล่อยไฮโดรเจนได้ 3.6 wt \% (10.8 wt \% H_2 เมื่อคิดเป็นปริมาณสารประกอบไฮโดรเจนเพียงอย่างเดียว) ภายใน 4 ชั่วโมง ซึ่งจะได้ปริมาณไฮโดรเจนที่ปลดปล่อยออกมากใกล้เคียงกับผลของ TG (3.5 wt \% H_2 (รูปที่ 5(b))) ต่อจากนั้นตัวอย่างหลังจากที่ถ่ายไฮโดรเจนแล้วถูกนำเข้าไปเก็บกักไฮโดรเจนที่ $425\text{ }^\circ\text{C}$ และความดันไฮโดรเจน 130 bar เป็นเวลา 10 ชั่วโมง เมื่อทำปฏิกิริยาปลดปล่อยไฮโดรเจนในรอบที่สอง (อุณหภูมิและความดันเดียวกันกับรอบแรก) พบว่าปริมาณไฮโดรเจนที่ปลดปล่อยออกมากน้อยกว่าเท่ากับ 3.1 wt \% H_2 หลังจากปล่อยให้เกิดปฏิกิริยานาน 9 ชั่วโมง เพื่อที่จะทำให้ตัวอย่างนี้ปลดปล่อยไฮโดรเจนได้ในปริมาณที่มากขึ้น การเก็บกักไฮโดรเจนในรอบที่สองถูกดำเนินการที่ $425\text{ }^\circ\text{C}$ และเพิ่มความดันไฮโดรเจนเป็น 145 bar ทั้งไวนาน 10 ชั่วโมง ซึ่งจากการทำเช่นนี้ทำให้ได้ปริมาณไฮโดรเจนที่ปลดปล่อยออกมากในรอบที่สามเพิ่มมากขึ้นเป็น 3.6 wt \% หลังจากปล่อยทั้งไว้ 22 ชั่วโมง ต่อจากนั้นก็ทำการเก็บกักไฮโดรเจนรอบที่สาม (โดยใช้อุณหภูมิและความดันเท่ากับรอบที่สอง ที่ $425\text{ }^\circ\text{C}$ และ 145 bar H_2) แต่

ใช้เวลา 12 ชั่วโมง พบร่วมกับการปลดปล่อยไฮโดรเจนในรอบที่สีเป็น 3.5 wt % หลังจากทำทึ่งไว้นาน 14 ชั่วโมง ซึ่งมีค่าไม่แตกต่างจากการปลดปล่อยไฮโดรเจนในรอบที่สามมากนัก ดังนั้นการเก็บกักไฮโดรเจน (ที่ 425 °C และ 145 bar H₂) โดยใช้เวลาประมาณ 10 ชั่วโมงจึงน่าจะเพียงพอ จากผลการทดลองข้างต้นสรุปได้ว่า สารประกอบคอมโพสิต 2LiBH₄-MgH₂ ที่ถูกบรรจุเข้าไปในรูพื้นของวัสดุคาร์บอน RF-CAS สามารถเกิดปฏิกิริยาแบบผันกลับได้และมีความสามารถในการทำซ้ำได้หลายรอบ นอกจากนี้ยังสังเกตได้ว่าในระหว่างรอบการทดลองทั้งหมด รอบแรกจะให้ปริมาณไฮโดรเจนที่ปลดปล่อยออกมากที่สุดเมื่อเปรียบเทียบกับรอบที่สอง สาม และสี่ (รูปที่ 6(a)) ที่เป็นเช่นนี้อาจเนื่องมาจากการเกิด MgB₂ ที่ไม่สมบูรณ์ (สังเกตจากลักษณะของ Mg ที่เหลืออยู่ ซึ่งอภิปรายในหัวข้อที่ 4.1 และรูปที่ 3) หลังจากปฏิกิริยาปลดปล่อยไฮโดรเจนรอบแรกของสารประกอบคอมโพสิต 2LiBH₄-MgH₂ ที่ถูกบรรจุเข้าไปในรูพื้นของวัสดุคาร์บอน RF-CAS ซึ่ง Vajo et al. ได้ทำการทดลองและรายงานไว้ว่าการเพิ่มการปลดปล่อยและเก็บกักไฮโดรเจนของ 2LiBH₄-MgH₂ ได้ดีนั้นจะต้องเกิด MgB₂ และ LiH ได้ทั้งหมดหลังจากเกิดปฏิกิริยาปลดปล่อยไฮโดรเจนในรอบแรก ถ้าผลิตภัณฑ์ที่ได้เป็นของผสม (ไม่เกิดเป็น MgB₂ และ LiH ทั้งหมด) จะส่งผลให้จนถึงการลดลงของการปลดปล่อยไฮโดรเจนในรอบถัดไปช้าลงด้วย และนอกจากนี้การเกิด MgO ในระหว่างการทดลองเหล่านี้ (รูปที่ 1) ยังมีผลต่อการลดลงของจนถึงการลดลงของไฮโดรเจนอีกด้วย

ในกรณีสารประกอบคอมโพสิต 2LiBH₄-MgH₂ ที่บดละเอียด การปลดปล่อยและเก็บกักไฮโดรเจนของถูกวิเคราะห์ที่ 425 °C ความดันของไฮโดรเจน 3.4 bar และที่ 425 °C ความดันของไฮโดรเจนเท่ากับ 145 bar ตามลำดับ ส่วนเวลาที่ใช้ในปฏิกิริยาเก็บกักไฮโดรเจนนั้นเท่ากับทั้งหมดคือ 12 ชั่วโมง ได้ผลดังแสดงในรูปที่ 6b พบร่วมกับการปลดปล่อยไฮโดรเจนของ MgH₂ และ LiBH₄ ที่บดละเอียด เกิดปฏิกิริยาการปลดปล่อยไฮโดรเจน 2 ขั้นตอน ขั้นตอนแรกเป็นการ decay ไฮโดรเจนของ MgH₂ และขั้นตอนที่สองเป็นการ decay ไฮโดรเจนของ LiBH₄ ได้ปริมาณไฮโดรเจนทั้งหมด 10.6 wt. % หลังจากทำปฏิกิริยาทั้งไว้นาน 30 ชั่วโมง และรอบที่สองได้ 10.0 wt. % เมื่อทั้งไว้นาน 27 ชั่วโมง ในขณะที่ปฏิกิริยาการ decay ไฮโดรเจนของสารประกอบคอมโพสิต 2LiBH₄-MgH₂ ที่ถูกบรรจุเข้าไปในรูพื้นของวัสดุคาร์บอน RF-CAS เกิดขึ้นเพียงขั้นตอนเดียวใน ซึ่งให้ผลสอดคล้องกับผลของ DSC และ TG (รูปที่ 5) จากผลการทดลองข้างต้นสามารถยืนยันได้ว่า การบรรจุวัสดุคอมโพสิต 2LiBH₄-MgH₂ เข้าไปในรูพื้นของวัสดุคาร์บอน RF-CAS ช่วยพัฒนาประสิทธิภาพทางด้านจนถึงการลดลงของตัวอย่างนี้อย่างมีนัยสำคัญเมื่อเทียบกับตัวอย่างที่บดละเอียด

เพื่อเปรียบเทียบผลทางจนถึงการลดลงของตัวอย่างนี้อย่างมีนัยสำคัญเมื่อเทียบกับตัวอย่างที่บดละเอียด ไฮโดรเจนของตัวอย่างนี้อย่างมีนัยสำคัญเมื่อเทียบกับตัวอย่างที่บดละเอียด

ไฮโดรเจนที่มากที่สุดของแต่ละตัวอย่าง (normalized hydrogen desorption profile) ดังผลการทดลองที่แสดงในรูปที่ 7)



รูปที่ 7. Normalized hydrogen desorption profile (จากข้อมูลรูปที่ 6a และ 6b)

เมื่อเปรียบเทียบผลจากรูปที่ 7 พบว่าในรอบแรกสารประกอบคอมโพสิต $2\text{LiBH}_4\text{-MgH}_2$ ที่ถูกบรรจุเข้าไปในรูพรุนของวัสดุคาร์บอน RF-CAS ปลดปล่อยไฮโดรเจนออกมานี้เป็น 90% ของปริมาณไฮโดรเจนทั้งหมดเมื่อทำการทดลองทั้งไวนานเพียง 1.30 ชั่วโมง แต่สารประกอบคอมโพสิต $2\text{LiBH}_4\text{-MgH}_2$ ที่บดละเอียดปลดปล่อยไฮโดรเจนออกมานี้เพียง 34% ของปริมาณไฮโดรเจนทั้งหมด นอกจากนี้รูปที่ 7 ยังแสดงให้เห็นว่าสารประกอบคอมโพสิต $2\text{LiBH}_4\text{-MgH}_2$ ที่ถูกบรรจุเข้าไปในรูพรุนของวัสดุคาร์บอน RF-CAS ให้ผลทางค้านจนศาสตร์ที่ดีขึ้นกว่าสารประกอบคอมโพสิต $2\text{LiBH}_4\text{-MgH}_2$ ที่บดละเอียด แม้ว่าจะทำการทดลองช้ำถึง 4 รอบก็ตาม นอกจากนี้เมื่อทำช้ำแล้วยังได้ปริมาณไฮโดรเจนที่คายออกมากึ่งจะ 100% ในทุกๆ รอบการทดลอง นอกจากนี้ผลทางค้านจนศาสตร์ของสารประกอบคอมโพสิต $2\text{LiBH}_4\text{-MgH}_2$ ที่ถูกบรรจุเข้าไปในรูพรุนของวัสดุคาร์บอน RF-CAS จากงานวิจัยนี้ยังให้ผลที่ดีกว่าเมื่อเทียบกับ MgH_2 ที่ถูกบรรจุเข้าไปในรูพรุนของวัสดุคาร์บอน RF-CAS (ขนาดรูพรุน 22 นาโนเมตร) และ LiBH_4 ที่ถูกบรรจุเข้าไปในรูพรุนของวัสดุคาร์บอน RF-CAS (ขนาดรูพรุน 25 นาโนเมตร)

บทที่ 4

บทสรุป

สรุปผลการทดลอง

การบรรจุระดับ nano เมตรของสารประกอบคอมโพสิต $2\text{LiBH}_4\text{-MgH}_2$ สามารถเตรียมได้โดยวิธีการหลอมเหลวสุดคอมโพสิตของ $2\text{LiBH}_4\text{-MgH}_2$ ที่บดละเอียดเข้าไปในวัสดุพูนของ resorcinol-formaldehyde การบอนแอโรเจลสคาฟโฟล์ด (RF-CAS) สำหรับใช้เป็นแหล่งเก็บกักไฮโดรเจนจากการวิเคราะห์ด้วยเทคนิค SEM-EDS-mapping สามารถพิสูจน์ทราบได้ว่าสารประกอบคอมโพสิต $2\text{LiBH}_4\text{-MgH}_2$ ถูกบรรจุเข้าไปในรูพูนของวัสดุคาร์บอน RF-CAS และในกรณีของประสิทธิภาพการปลดปล่อยและเก็บกักไฮโดรเจนเป็นวัตถุจัด พบร่วมกับสารประกอบคอมโพสิต $2\text{LiBH}_4\text{-MgH}_2$ ที่ถูกบรรจุเข้าไปในรูพูนของวัสดุคาร์บอน RF-CAS มีความจุถึง 3.6 wt. % H_2 โดยเกิดปฏิกิริยาเป็นขั้นตอนเดียว (single-step reaction) และกว่าสารประกอบคอมโพสิต $2\text{LiBH}_4\text{-MgH}_2$ ที่บดละเอียดประมาณ 10 เท่า จากผลข้างต้นแสดงให้เห็นว่าการบรรจุสารประกอบคอมโพสิต $2\text{LiBH}_4\text{-MgH}_2$ เข้าไปในรูพูนของวัสดุคาร์บอน RF-CAS สามารถทำได้ง่าย โดยวิธีการหลอมเหลวโดยตรง ซึ่งการบรรจุดังกล่าวส่งผลอย่างมีนัยสำคัญต่อการพัฒนาประสิทธิภาพของสารประกอบคอมโพสิตดังกล่าว

បររបាយក្រណ៍

- (1) Schlapbach, L.; Züttel, A. *Nature* 2001, 414, 353.
- (2) Gross, A. F.; Vajo, J. J.; Van Atta, S. L.; Olsen, G. L. *J. Phys. Chem. C* 2008, 112, 5651.
- (3) Cahen, S.; Eymery, J.-B.; Janot, R.; Tarascon, J.-M. *J. Power Sources* 2009, 189, 902.
- (4) Bösenburg, U.; Doppiu, S.; Mosegaard, L.; Barkhordarian, G.;Eigen, N.; Borgsculte, A.; Jensen, T. R.; Cerenius, Y.; Gutfleisch, O.; Klassen, T.; Dornheim, M.; Bormann, R. *Acta Mater.* 2007, 55, 3951.
- (5) Price, T. E. C.; Grant, D. M.; Legrand, V.; Walker, G. S. *Int. J. Hydrogen Energ.* 2010, 35, 4154.
- (6) Mauron, P; Buchter, F.; Friedrichs, O.; Remhof, A.; Bielmann, M.; Zwicky, C. N.; Züttel, A. *J. Phys. Chem. B* 2008, 112, 906.
- (7) Au, M.; Jurgensen, A. *J. Phys. Chem. B* 2006, 110, 7062.
- (8) Züttel, A.; Wenger, P.; Rentsch, S.; Sudan, P.; Mauron, P.; Emmenegger, C. *J. Power Sources* 2003, 118, 1.
- (9) Au,M.; Jurgensen, A. R.; Spencer, A.W.; Anton, D. L.; Pinkerton, E. P.; Hwang, S. J.; Kim, C.; Bowman, R. C., Jr. *J. Phys. Chem. C* 2008, 112, 18661.
- (10) Au, M.; Jurgensen, A.; Ziegler, K. *J. Phys. Chem. B* 2006, 110, 26482.
- (11) Züttel, A.; Rentsch, S.; Fischer, P.; Wenger, P.; Sudan, P.; Mauron, P.; Emmenegger, C. *J. Alloys Compd.* 2003, 356_357, 515.
- (12) Mosegaard, L.; Møller, B.; Jørgensen, J.-E.; Filinchuk, Y.; Cerenius, Y.; Hanson, J. C.; Dimasi, E.; Besenbacher, F.; Jensen, T. R. *J. Phys. Chem. C* 2008, 112, 1299.
- (13) Dornheim, M.; Doppiu, S.; Barkhordarian, G.; Boesenberg, U.; Klassen, T.; Gutfleisch, O.; Bormann, R. *Scripta Mater.* 2007, 56, 841.
- (14) Vajo, J. J.; Skeith, S. L. *J. Phys. Chem. B* 2005, 109, 3719.
- (15) Barkhordarian, G.; Klassen, T.; Dornheim, M.; Bormann, R. *J. Alloys Compd.* 2007, 440, L18.
- (16) Gertsman, V. Y.; Birringer, B. *Scripta Metall. Mater.* 1994, 30, 577.
- (17) Bosenberg, U.; Vainio, U.; Pranzas, P. K.; Bellotta Von Colbe, J. M.; Goerigk, G.; Welter, E.; Dornheim, M. *Nanotechnology* 2009, 20, 204003.

- (18) Bösenberg, U.; Kim, Ji Woo; Gossler, D.; Eigen, N.; Jensen, T. R.; Bellosta von Colbe, J. M.; Zhou, Y.; Dahms, M.; Kim, D. H.; Günther, R.; Cho, Y. W.; OH, K. H.; Klassen, T.; Bormann, R.; Dornheim, M. *Acta Mater.* 2010, 58, 3381.
- (19) Deprez, E.; Justo, A.; Rojas, T. C.; Lopez-Cartes, C.; BonattoMinella, C.; Boesenbergs, U.; Dornheim, M.; Bormann, R.; Fernandez, A. *Acta Mater.* 2010, 58, 5683.
- (20) Nielsen, T. K.; Besenbacher, F.; Jensen, T. R. *Nanoscale* 2011, 3, 2086.
- (21) Nielsen, T. K.; Manickam, K.; Hirscher, M.; Besenbacher, F.; Jensen, T. R. *ACS Nano* 2009, 3, 3521.
- (22) Nielsen, T. K.; Bøesenbergs, U.; Gosalawit, R.; Dornheim, M.; Cerenius, Y.; Besenbacher, F.; Jensen, T. R. *ACS Nano* 2010, 4, 3903.
- (23) Gross, A. F.; Ahn, C. C.; Van Atta, S. L.; Liu, P.; Vajo, J. J. *Nanotechnology* 2009, 20, 204005.
- (24) Li, W. C.; Lu, A. H.; Weidenthaler, C.; Sch€uth, F. *Chem. Mater.* 2004, 16, 5676.
- (25) Halsey, G. *J. Chem. Phys.* 1948, 16, 931.
- (26) de Boer, J. H.; Linsen, B. G.; Plas, Th.; Zondervan, G. *J. J. Catal.* 1969, 4, 649.
- (27) Brunauer, S.; Emmet, P.; Teller, E. *J. Am. Chem. Soc.* 1939, 60, 309.
- (28) Barrett, E. P.; Joyner, L. G.; Halenda, P. P. *J. Am. Chem. Soc.* 1951, 73, 373.
- (29) Cerenius, Y.; Stahl, K.; Svesson, L. A.; Ursby, T.; Oskarsson, Å; Albertsson, J. *J. Synchrotron Rad.* 2000, 7, 203.
- (30) Jensen, T. R.; Nielsen, T. K.; Filinchuk, Y.; Jorgensen, J.-E.; Cerenius, Y.; Gray, E. M.; Webb, C. J. *J. Appl. Crystallogr.* 2010, 43, 1456.
- (31) Li, J.; Wang, X.; Huang, Q.; Gamboa, S.; Sebastian, P. *J. J. Power Sources* 2006, 158, 784.
- (32) Cahen, S.; Eymery, J. B.; Janot, R.; Tarascon, J. M. *J. Power Sources* 2009, 189, 902.

ประวัติผู้วิจัย

1. ชื่อ (ภาษาไทย) ระพี โภศ्यัลวิต-อุทเคอ
(ภาษาอังกฤษ) Rapee Gosalawit-Utke
2. เลขหมายบัตรประจำตัวประชาชน 3 3416 01161 044
3. ตำแหน่งปัจจุบัน ผศ.ดร.
4. หน่วยงานที่อยู่ที่ติดต่อได้พร้อมโทรศัพท์ โทรศัพท์ และ E-mail
สาขาวิชาเคมี สำนักวิทยาศาสตร์ มหาวิทยาลัยเทคโนโลยีสุรานารี
111 ถ. มหาวิทยาลัย ต.สุรานารี อ.เมือง จ.นครราชสีมา 30000
โทรศัพท์ 044-224-654 โทรศัพท์ 044-224-185
Email: rapee.g@sut.ac.th
5. ประวัติการศึกษา
พ.ศ. 2545 ว.ท.บ. (เคมี) เกรดคุณภาพอันดับ 1 (3.91) มหาวิทยาลัยขอนแก่น
พ.ศ. 2550 Ph.D. (Polymer Science) วิทยาลัยปิโตรเคมีและปิโตรเคมี จุฬาลงกรณ์มหาวิทยาลัย
6. สาขาวิชาการที่มีความชำนาญพิเศษ (แตกต่างจากวุฒิการศึกษา) ระบุสาขาวิชาการ
Proton exchange membranes, fuel cells, solid-state metal hydrides, hydrogen storage systems
7. ผลงานวิจัย
 1. R. Gosalawit-Utke*, S. Meethom, C. Pistidda, C. Milanese, D. Laipple, T. Saisopa, A. Marini, T. Klassen, M. Dornheim. Destabilization of LiBH₄ by nanoconfinement in PMMA-co-BM polymer matrix for reversible hydrogen storage. . *International Journal of Hydrogen Energy* 2014, 39, 5019. (IF=4.054)
 2. R. Gosalawit-Utke*, C. Milanese, P. Javadian, A. Girella, D. Laipple, J. Puszkiel, A. S. Cattaneo, C. Ferrara, J. Wittayakhun, J. Skibsted, T. R. Jensen, A. Marini, T. Klassen, M. Dornheim. 2LiBH₄-MgH₂-0.13TiCl₄ confined in nanoporous structure of carbon aerogel scaffold for reversible hydrogen storage. *Journal of Alloys and Compounds* 2014, 599, 78. (IF=2.390)
 3. J. Puszkiel*, F. Gennari, P. A. Larochette, F. Karimi, C. Pistidda, R. Gosalawit-Utke, J. Jepsen, T. R. Jensen, C. Gundlach, J. Bellosta von Clobe, T. Klassen, M. Dornheim. Sorption behavior of the

MgH₂-Mg₂FeH₆ hydride storage system synthesized by mechanical milling followed by sintering.

International Journal of Hydrogen Energy 2013, 38, 14618. (IF=4.054)

4. I. Saldan*, M. Schulze, C. Pistidda, T. Gosalawit-Utke, O. Zavarotynska, L. H. Rude, J. Skibsted, D. Hasse, Y. Cerenius, T.R. Jensen, G. Spoto, M. Baricco, K. Taube, M. Dornheim. Hydrogen Sorption in the LiH-LiF-MgB₂ System. *Journal of Physical Chemistry C* 2013, 117, 17360. (IF=4.805)
5. R. Gosalawit-Utke*, C. Milanese, P. Javadian, J. Jepsen, D. Laipple, F. Karimi, J. Puszkeil, T. R. Jensen, A. Marini, T. Klassen, M. Dornheim. Nanoconfined 2LiBH₄-MgH₂-TiCl₃ in carbon aerogel scaffold for reversible hydrogen storage. *International Journal of Hydrogen Energy* 2013, 38, 3275. (IF=4.054)
6. R. Gosalawit-Utke*, C. Milanese, T. K. Nielsen, F. Karimi, I. Saldan, K. Pranzas, T. R. Jensen, A. Marini, T. Klassen, M. Dornheim. Nanoconfined 2LiBH₄-MgH₂ for reversible hydrogen storage: Reaction mechanisms, kinetics and thermodynamics. *International Journal of Hydrogen Energy* 2013, 38, 1932. (IF=4.054)
7. I. Saldan*, R. Gosalawit-Utke, C. Pistidda, U. Bosenberg, M. Schulze, T. R. Jensen, K. Taube, M. Dornheim, T. Klasen. Influence of Stoichiometry on Hydrogen Sorption Behavior in the LiF-MgB₂ System. *The Journal of Physical Chemistry C* 2012, 116, 7010-7015. (IF=4.805)
8. R. Gosalawit-Utke*, T. K. Nielsen, K. Pranzas, I. Saldan, C. Pistidda, F. Karimi, D. Laipple, J. Skibsted, T. R. Jensen, T. Klassen, M. Dornheim. 2LiBH₄-MgH₂ in a Resorcinol-Furfural Carbon Aerogel Scaffold for Reversible Hydrogen Storage. *The Journal of Physical Chemistry C* 2012, 116, 1526-1534. (IF=4.805)
9. R. Gosalawit-Utke*, J. Bellosta von Colbe, M. Dornheim, T. R. Jensen, Y. Cerenius, U. Bösenburg, K. Suarez, R. Bormann. Ca(BH₄)₂-MgF₂ Reversible Hydrogen Storage System: Reaction Mechanism and Kinetic properties. *The Journal of Physical Chemistry C* 2011, 115, 3762-3768. (IF=4.805)
10. R. Gosalawit-Utke*, T. K. Nielsen, I. Saldan, D. Laipple, Y. Cerenius, T. R. Jensen, M. Dornheim, T. Klassen. Nanoconfined 2LiBH₄-MgH₂ Prepared by Direct Melt Infiltration into Nanoporous Materials. *The Journal of Physical Chemistry C* 2011, 115, 10903-10910. (IF=4.805)

11. C. Bonatto Minella*, G. Barkhordarian, S. Garroni, C. Pistidda, R. Gosalawit-Utke, C. Rongeat, O. Gutfleisch, T. R. Jensen, Y. Cerenius, M. D. Baro, R. Bormann, T. Klassen, M. Dornheim. Effect of Transition Metal Fluorides on Reversible Formation of $\text{Ca}(\text{BH}_4)_2$. *The Journal of Physical Chemistry C* 2011, 115, 2497-2504. (IF=4.805)
12. J. Yana, P. Nimmanipug*, S. Chirachanchai, R. Gosalawit, S. Dokmaisrjan, S. Vannarat, T. Vilaithong, V. S. Lee. Molecular dynamics simulations of Krytox-Silica-Nafion composite for high temperature fuel cell electrolyte membranes. *Polymer* 2010, 51, 4631-4638. (IF=3.438)
13. C. Pistidda*, S. Garroni, F. Dolci, E. Gil Bardají, A. Khandelwal, P. Nolis, M. Dornheim, R. Gosalawit, T. R. Jensen, Y. Cerenius, S. Suriñach, M. Dolors Baró, W. Lohstroh, M. Fichtner. Synthesis of amorphous $\text{Mg}(\text{BH}_4)_2$ from MgB_2 and H_2 at room temperature. *Journal of Alloys and Compounds* 2010, 508, 212-215. (IF=2.289)
14. R. Gosalawit*, J. Bellosta von Colbe, M. Dornheim, T. R. Jensen, Y. Cerenius, C. M. Bonatto, M. Peschke, R. Bormann. LiF-MgB2 System for Reversible Hydrogen Storage. *The Journal of Physical Chemistry C* 2010, 114, 10291-10296. (IF=4.805)
15. T. K. Nielsen*, U. Bösenburg, R. Gosalawit, M. Dornheim, Y. Cerenius, F. Besenbacher, T. R. Jensen. A Reversible Nanoconfined Chemical Reaction. *ACS Nano* 2010, 4, 2903-3908. (IF=11.421)
16. R. Gosalawit, S. Chirachanchai*, A. Figoli. Physicochemical and Electrochemical Characterizations of Organically Montmorillonite (OMMT)/Sulfonated Poly(ether ether ketone) (SPEEK) Composite Membranes. *Asia-Pacific Journal of Chemical Engineering on Membrane Reactors* 2010, 5, 60-65. (IF=0.758)
17. R. Gosalawit, S. Chirachanchai*, A. Basile, A. Iulianelli. Thermo and electrochemical characterization of sulfonated PEEK-WC membranes and Krytox-Si-Nafion composite membrane. *Desalination* 2009, 235, 293-305. (IF=2.590)
18. R. Gosalawit, S. Chirachanchai*, S. Shishatskiy, S. P. Nunes. Sulfonated montmorillonite (SMMT)/sulfonated poly(ether ether ketone) (SPEEK) nanocomposite membrane for direct methanol fuel cells (DMFCs). *Journal of Membrane Science* 2008, 323, 337-346. (IF=3.850)

19. R. Gosalawit, S. Chirachanchai*, S. Shishatskiy, S. P. Nunes. Krytox-Montmorillonite-Nafion nanocomposite membrane for effective methanol crossover reduction in DMFCs. *Solid State Ionics* 2007, 178, 1627-1635. (IF=2.646)
20. R. Gosalawit, S. Chirachanchai*, H. Manuspiya, E. Traversa. Krytox-Silica-Nafion® composite membrane: A hybrid system for maintaining proton conductivity in a wide range of operating temperatures. *Catalysis Today* 2006, 118, 259-265. (IF=3.407)

* Corresponding author